

Bras articulé robotisé, optimisant l'éclairage rasant en vision industrielle

Rapport technique

COLLIGNON Martin
DE SALEON Victoire
LAPRAS Albane
ZHU Tong

*ProTIS - Procédés de Traitement
de l'Information et du Signal*
Institut d'Optique / 2A

Date de rédaction : 29/03/22 – 08/04/22

Sommaire

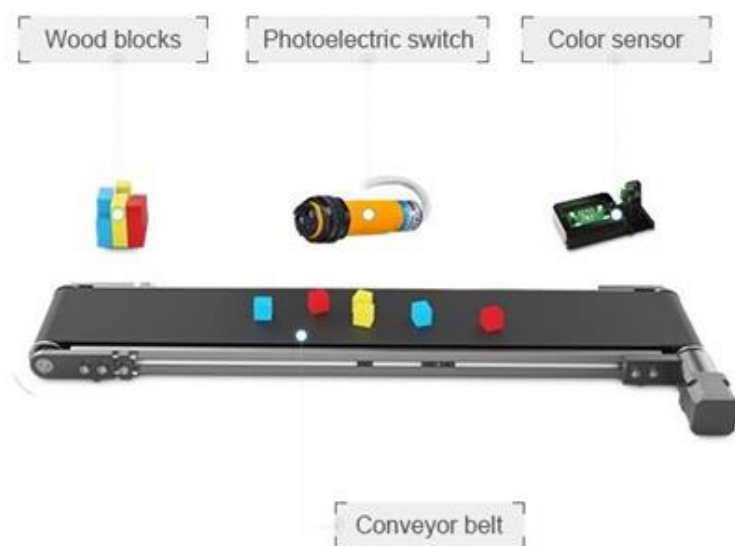
1. Introduction.....	2
1.1 Descriptif du projet.....	2
1.2 Cahier des charges.....	3
2. Découpage fonctionnel.....	5
3. Conception et réalisation du prototype.....	6
3.1 Partie mécanique.....	6
3.1 Partie électronique.....	8
3.2 Partie informatique.....	10
4. Tests et Validation du prototype.....	18
4.1 Validation de la commande manuelle par écran tactile et par ordinateur.....	18
4.2 Validation du mode automatisé.....	19
5. Gestion du projet	20
5.1 Planning et organisation de l'équipe.....	20
5.2 Bilan de l'équipe sur ce projet.....	22
6. Conclusion.....	23
7. Annexes.....	24
Annexe 1 : Plans sur Solidworks	25
Annexe 2 : Code interface écran tactile	26
Annexe 3 : Code interface ordinateur	41

1. Introduction

1.1 Descriptif du projet

Le contrôle non destructif (CND) de la qualité des objets sur une chaîne de production est fondamental pour pouvoir exclure les produits défectueux ou stopper la production dans le cas d'un défaut systématique. Une solution de CND permettant la production de masse haute cadence tout en assurant la qualité de fabrication des produits est la vision industrielle.

Pour répondre aux besoins d'industriels souhaitant automatiser leur chaîne de production en ajoutant des options de tri de pièces ou d'objets, la société SOLEC souhaite proposer une solution de tri d'objets en fonction de leur couleur et/ou leur forme. Ce système devrait se baser sur un convoyeur Dobot entraîné par un moteur pas-à-pas, un détecteur de couleur et un détecteur de présence de pièces.



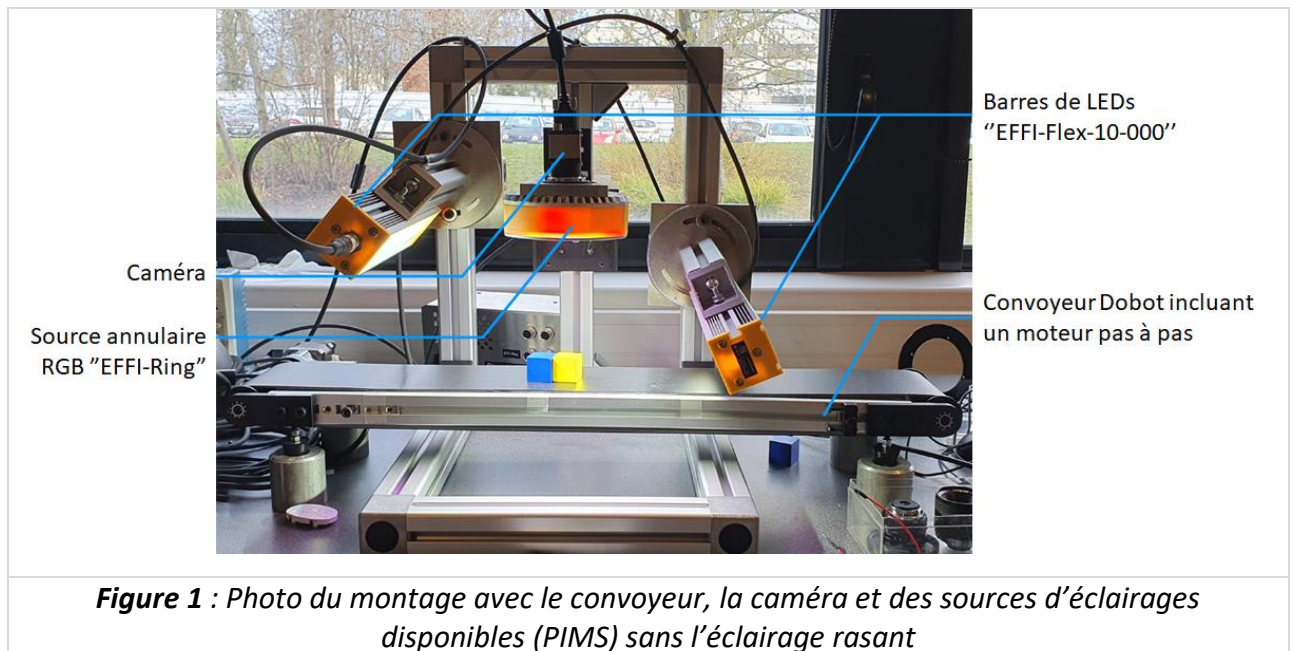
Source : Convoyeur DOBOT (Offre de projet – Automatisation d'une chaîne de tri)

Un projet « PIMS Vision industrielle » a donc vu le jour en octobre 2021 afin de développer un dispositif capable de détecter les caractéristiques des objets qui défilent sur un convoyeur roulant.

(Figure 1)

Ce démonstrateur doit réaliser une acquisition optimale d'images à traiter (éclairage et vitesse de défilement adaptés) et offrir une interface graphique permettant de piloter le système et de traiter les images acquises par la caméra uEye pour en extraire les caractéristiques (identification de formes, de contours, couleurs ...). En janvier 2022, la solution développée par l'équipe « PIMS Vision industrielle » utilise un éclairage surplombant diffus et se heurte alors à une difficulté de détection de détails ou de défauts de faibles reliefs sur certains objets (comme les pièces de monnaie). Ces détails ne sont détectables qu'avec un éclairage rasant.

Dans le but de perfectionner cette solution en partenariat avec l'équipe « PIMS Vision industrielle », notre équipe ProTIS a développé, de janvier à avril 2022, un bras articulé automatisé qui permet de positionner un éclairage rasant autour des pièces présentant des gravures, et respectant la cadence du convoyeur.



1.2 Cahier des charges

Le bras articulé robotisé, comportant sur son extrémité un anneau de LEDs rasant rasant EFFI-LLA (EFFI-Lux) monochrome rouge (**Figure 2**), doit réaliser les fonctions suivantes :

- Sortir de sa position de repos (bras replié en dehors du convoyeur) et effectuer une rotation à $+90^\circ$ afin de positionner l'anneau de LEDs en dessous de la caméra et au-dessus de l'objet sur le convoyeur : « **déploiement du dispositif** »
- Descendre (translation verticale) au niveau du convoyeur pour permettre l'éclairage rasant et la prise d'une photo avec la caméra sans arrêter le convoyeur. La photo doit s'enregistrer automatiquement dans un dossier de l'ordinateur.
- Remonter (translation verticale)
- Remonter et redescendre autant de fois que nécessaire, pour le contrôle d'autres objets arrivant sur le convoyeur en fonctionnement, jusqu'au rangement du dispositif
- Revenir à sa position de repos initiale en dehors du convoyeur (rotation de -90°), après avoir éteint l'anneau de LEDs : « **rangement du dispositif** »



La commande du bras articulé doit pouvoir se faire de deux façons différentes pour l'utilisateur :

- soit par un écran tactile qui permet d'allumer et éteindre l'éclairage de l'anneau mais aussi de contrôler les différents éclairages du dispositif et de régler la vitesse et le sens de défilement du convoyeur. Cet écran tactile permet un **pilotage manuel du bras**.
- soit par une interface sur ordinateur qui permet également d'allumer et éteindre l'éclairage de l'anneau, de contrôler les différents éclairages du dispositif, de régler la vitesse et le sens de défilement du convoyeur et mais aussi d'effectuer un traitement (en temps réel) des images acquises par la caméra pour les détails ou les défauts de faibles reliefs de certains objets (éclairage rasant). L'interface sur ordinateur permettra un **pilotage manuel du bras ou fonctionnement automatisé du dispositif de vision industrielle en éclairage rasant**.

Ces commandes doivent donc s'intégrer dans le programme existant de PIMS en rajoutant de nouvelles fenêtres dans l'interface existante pour y inclure le pilotage du bras et le paramétrage du traitement d'images avec un éclairage rasant. La structure générale de l'interface « PIMS vision industrielle » est donnée en partie 3.2 (Conception – partie informatique).

D'autres contraintes et performances sont aussi à prendre en compte :

- La principale difficulté de ce contrôle par vision industrielle est que la caméra est fixe et que les objets sont en mouvement sur le convoyeur pendant le temps de l'acquisition et de traitement des images (afin de ne pas ralentir la production). La cadence maximale du convoyeur fonctionnement (environ 55 mm/s) est donc à respecter.
- L'utilisateur aura la possibilité de choisir une hauteur de placement de l'anneau, permettant l'éclairage rasant, en respectant les dimensions des objets et du convoyeur.
- Lorsque l'anneau arrive au niveau du convoyeur (pour permettre l'éclairage rasant et optimiser l'acquisition des images et le traitement d'images associé), l'objet doit se trouver centré par rapport à l'anneau.
- L'éclairage directionnel de l'anneau de LEDs rasant EFFI-LLA (EFFI-Lux), qui s'effectue en champ sombre, peut subir des réflexions spéculaires pour les objets réfléchissants et peut donner lieu à une saturation de l'image et à l'apparition d'ombre lors du traitement des images.

2. Découpage fonctionnel

Pour répondre au cahier des charges, nous avons donc élaboré le découpage fonctionnel ci-dessous (Figure 3)

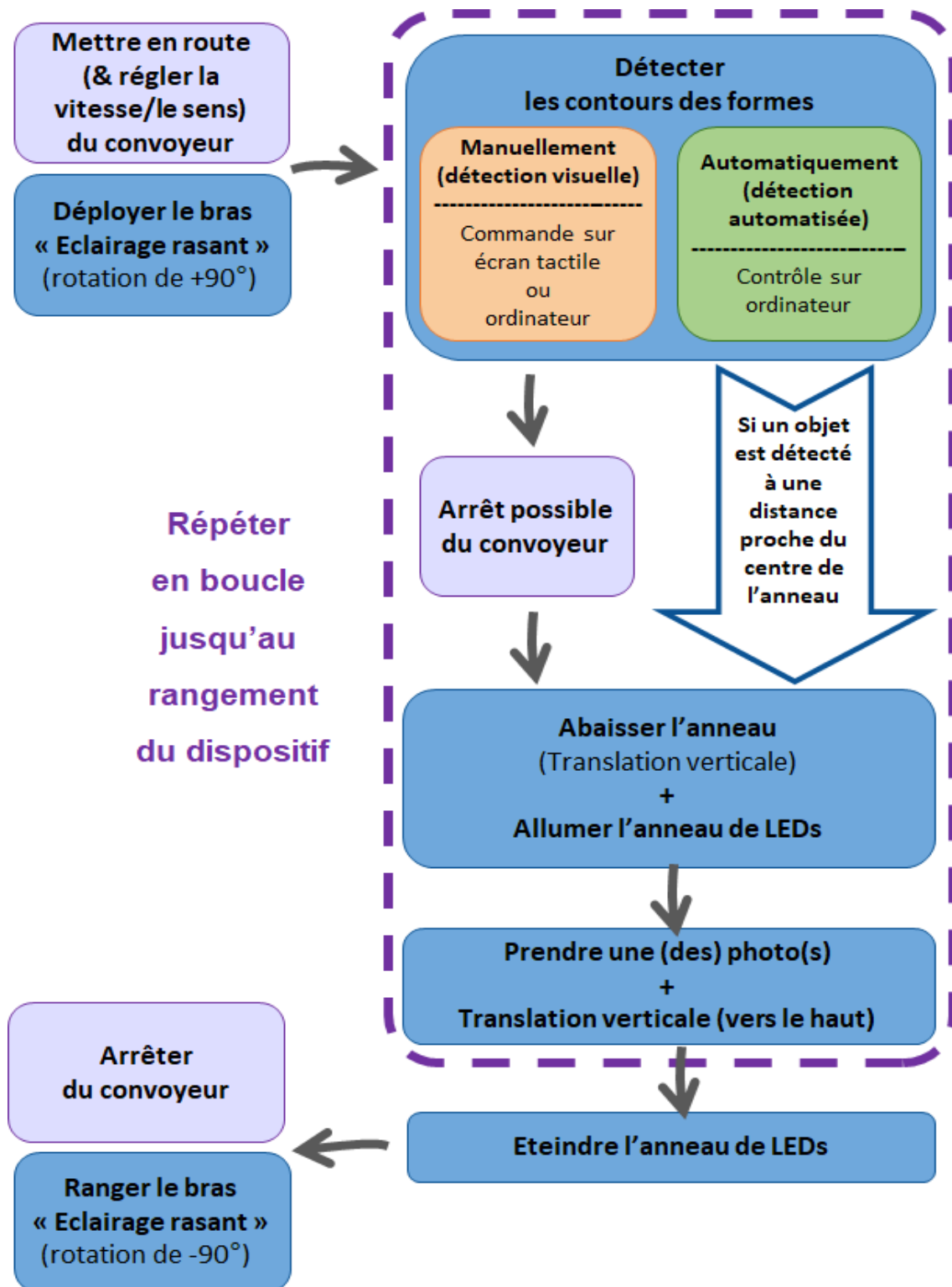
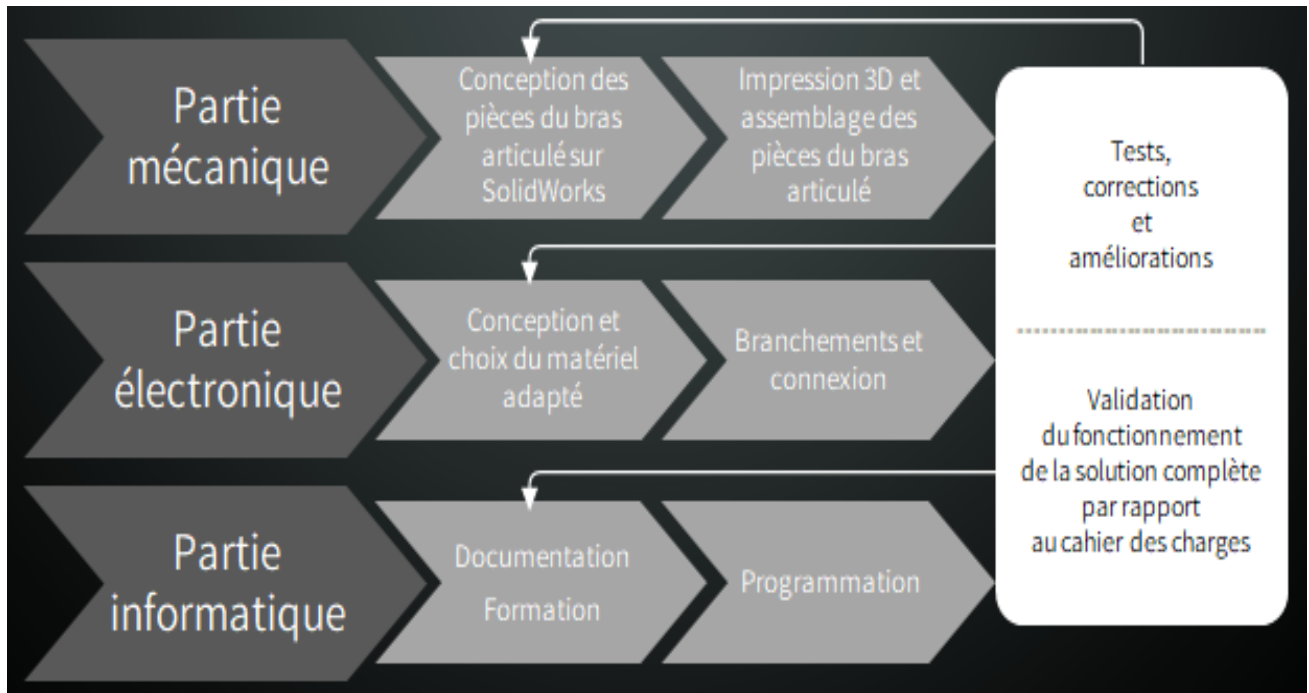


Figure 3 : Découpage fonctionnel du dispositif

3. Conception et réalisation

La conception et réalisation de notre solution s'est développée autour de trois parties : une partie mécanique, une partie électronique et une partie informatique.



3.1 Partie mécanique

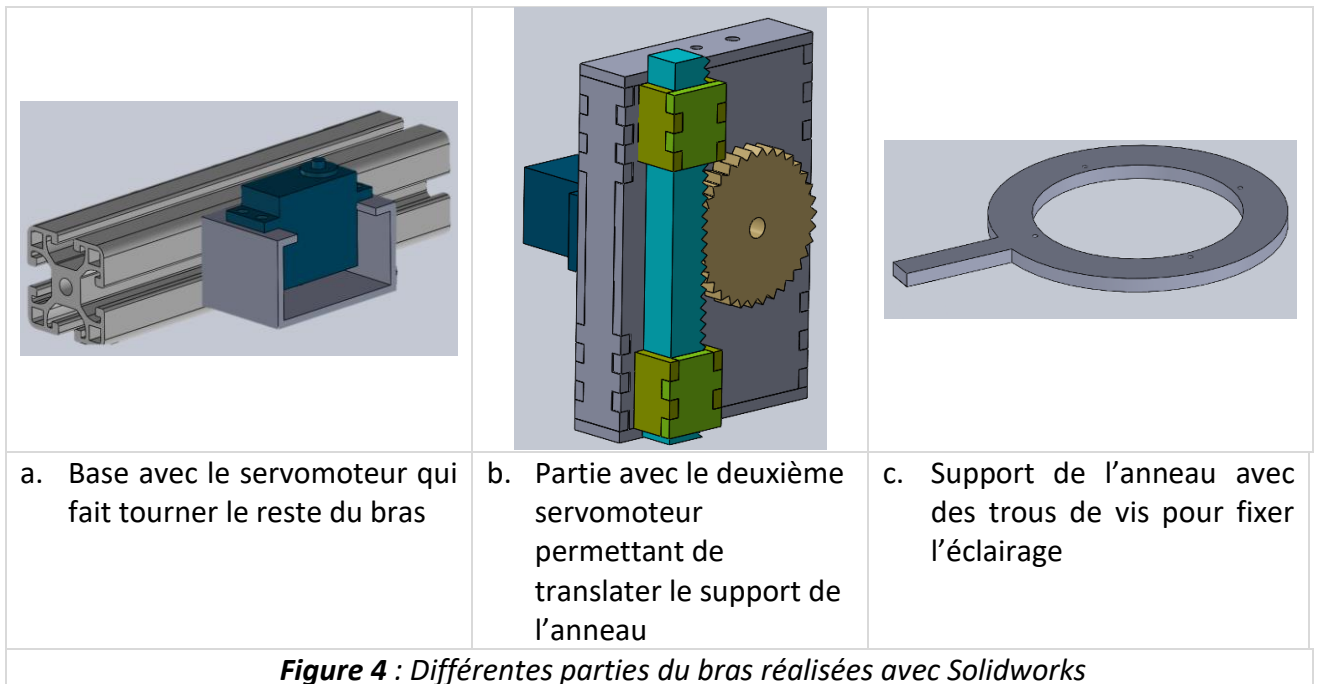
Dans la partie mécanique, nous avons conçu les différentes pièces du bras articulé sur Solidworks que nous avons ensuite imprimées en 3D. Puis nous les avons testées après assemblage d'un premier 1^{er} bras articulé, ce qui nous a permis d'apporter les corrections et améliorations nécessaires pour aboutir à un 2^{ème} bras plus performant.

3.1.1. Conception des pièces du bras articulé sur Solidworks

Le bras possède 2 degrés de liberté (mouvement de translation et mouvement de rotation) et se décompose en 3 parties :

- ✓ La base (verticale), fixée au support, dans laquelle est situé le 1^{er} moteur qui fait tourner le reste du bras autour d'un axe vertical (**image a. de la Figure 4**)
- ✓ La 2^e partie (verticale) au-dessus comporte un 2^e moteur qui fait translater la 3^e partie de façon verticale grâce à une crémaillère et un pignon (**image b. de la Figure 4**). Cela permet de convertir un mouvement de rotation en un mouvement de translation.
- ✓ La 3^e partie (horizontale) à laquelle est fixée l'anneau d'éclairage (**image c. de la Figure 4**). Pour tenir l'anneau, l'extrémité du bras a une forme arrondie (même forme que l'anneau). L'anneau est fixé directement au bras à l'aide de vis.

Nous avons tout d'abord conçu différentes pièces du bras articulé sur Solidworks : pièce du bas, pièce du dessus, pièce qui tient l'éclairage puis nous les avons assemblées pour former le montage présent en **annexe 1**.



3.1.2. Principaux verrous technologiques levés

Nous avons réalisé une première version du bras (**Figure 5**) qui présentait un certain nombre de problèmes :

- Le servomoteur du bas qui permet la rotation du bras patine de temps en temps et n'entraîne pas correctement le bras en rotation, ce qui est dû à une mauvaise fixation du servomoteur.
- Les frottements de la fixation métallique de la partie supérieure gênent la rotation du bras.
- Le bras ne peut pas faire exactement une rotation de 90° car il est fixé à une barre qui l'empêche de se replier complètement. De plus, le bras n'arrive pas parfaitement en-dessous de la caméra lorsqu'il est perpendiculaire au convoyeur.
- La partie horizontale du bras ploie légèrement en avant à cause du poids de l'anneau.
- Le centre de l'anneau de LEDs n'est pas confondu avec le centre de la caméra car le bras est visiblement trop long.

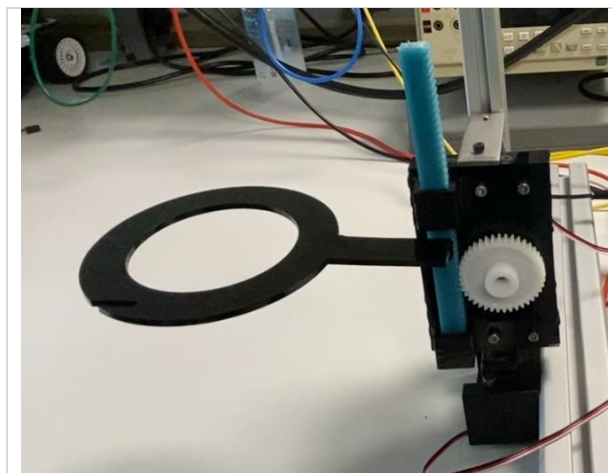
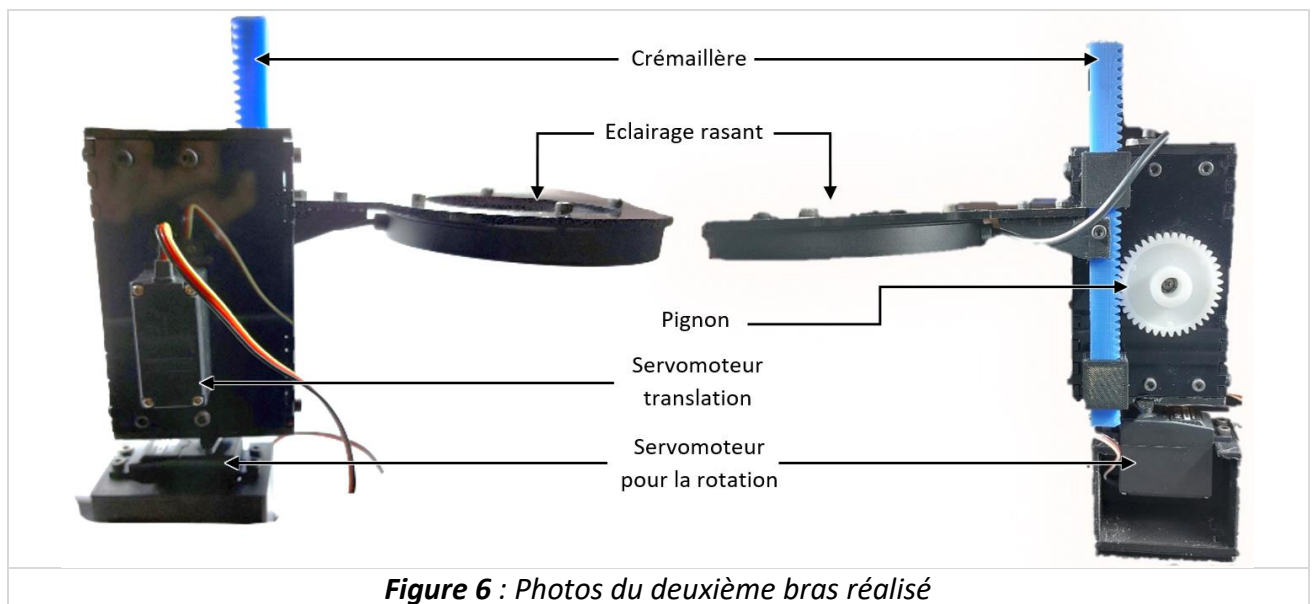


Figure 5 : Photo du premier bras réalisé

Nous avons donc réalisé un 2^{ème} bras qui règle ces problèmes. (Figure 6)

- Nous avons tout d'abord amélioré la fixation du servomoteur du bas au bras ce qui a réglé les soucis de patinage.
- Nous avons également modifié la fixation du bras pour qu'il puisse faire exactement une rotation de 90° et qu'il arrive parfaitement en-dessous de la caméra lorsqu'il est perpendiculaire au convoyeur. Ceci a également permis de régler les problèmes de frottements de la fixation métallique de la partie supérieure qui gênaient la rotation du bras.
- Nous avons enfin réduit la longueur de la partie horizontale du bras pour éviter qu'il ne ploie trop en avant à cause du poids de l'anneau de LEDs. Ceci a également permis de superposer le centre de l'anneau de LEDs avec le centre de la caméra.



3.2 Partie électronique

3.2.1. Conception et réalisation du montage de la partie électronique

Notre dispositif est commandé par deux systèmes :

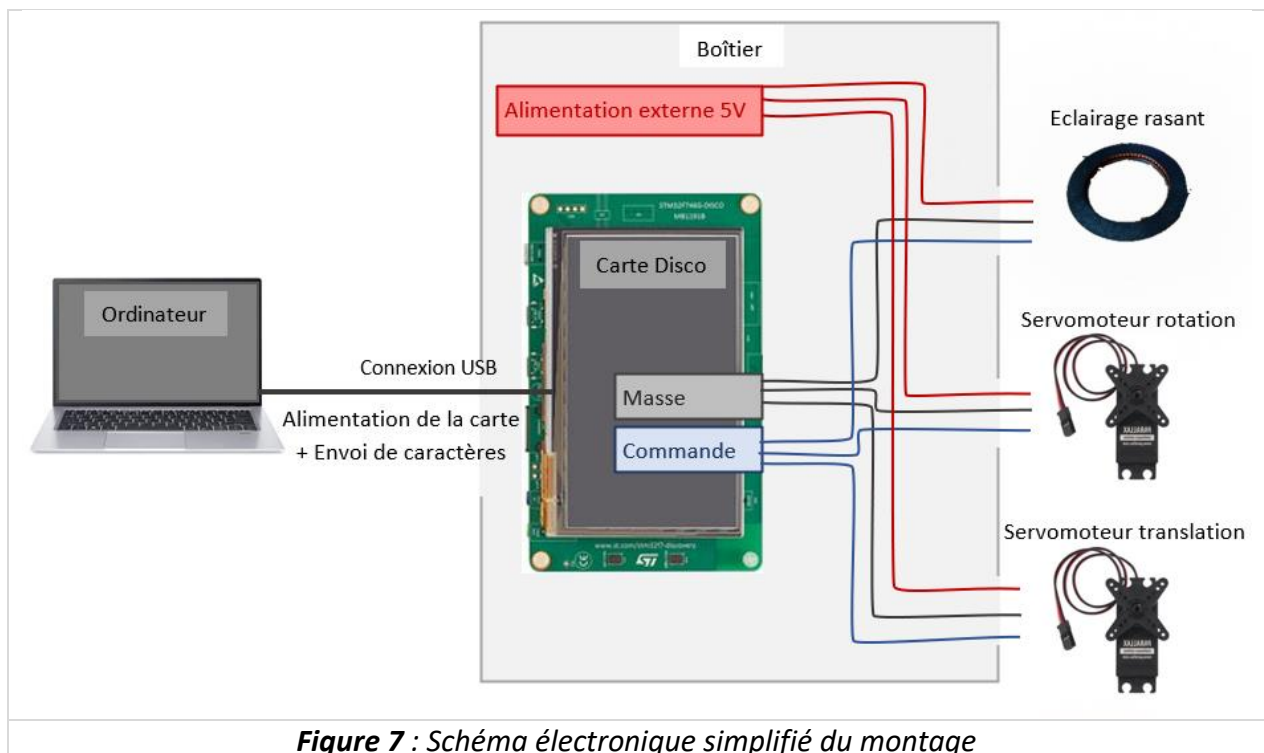
- Un écran tactile, programmé par un Code en C avec l'outil de développement Mbed, à partir d'une carte électronique (**Disco-F746NG**) qui permet à la fois de gérer l'éclairage de l'anneau de LEDs (allumer ou éteindre), de déployer ou ranger le bras, de monter ou descendre verticalement le bras au niveau du convoyeur (position du curseur pour le contrôle) et de contrôler le convoyeur (marche/arrêt, vitesse et sens).
- Une interface sur ordinateur qui permet non seulement d'effectuer les mêmes pilotages que sur l'écran tactile mais aussi de réaliser un traitement des images acquises par la caméra en éclairage rasant. Cette interface est programmée grâce à un code en Python avec la bibliothèque OpenCV pour le traitement d'image et QT l'interface de programmation d'application orientée objet.

L'équipe PIMS a réalisé un boîtier permettant de simplifier l'utilisation du montage avec l'écran tactile de la carte **Disco**. Il contient en plus de la carte, une alimentation reliée au réseau électrique du bâtiment qui permet d'alimenter les sources d'éclairage et le convoyeur. Il dispose également de ports permettant de connecter les éclairages ainsi qu'un port USB pour pouvoir connecter la carte à un ordinateur. Cette connexion USB permet d'alimenter la carte **Disco** mais aussi d'envoyer des caractères de l'ordinateur à la carte lorsque l'utilisateur a choisi le mode Ordinateur.

Nous avons choisi d'utiliser deux servomoteurs plutôt que des moteurs pas à pas d'une part parce que nous n'avons pas besoin d'un grand déplacement pour la translation du bras et d'autre part pour leur simplicité de mise en œuvre.

Dans un premier temps, avec le 1er bras, la commande des servomoteurs s'est faite à l'aide d'une deuxième carte branchée à une alimentation 5V externe. Nous avons utilisé pour cela une carte **Nucléo L476RG**. Cette solution était un peu encombrante et peu pratique donc nous avons changé de méthode pour le 2^{ème} bras.

Dans un deuxième temps, avec le 2^{ème} bras, nous avons souhaité implémenter le montage du bras à celui du montage global du PIMS. Pour cela, nous avons soudé les fils correspondant à l'alimentation des servomoteurs sur l'alimentation du boîtier. Nous avons également relié les fils de commande des servomoteurs aux broches D0 et D1 de la carte **Disco**. L'écran tactile du boîtier permet donc de contrôler, en plus des éclairages et du convoyeur, les deux servomoteurs responsables de la rotation et de la translation verticale du moteur. (**Figure 7**)



3.2.2. Calcul des commandes des servomoteurs

Un servomoteur est un actionneur dont on peut commander de façon externe la rotation calibrée. Le signal de commande est rectangulaire de période fixée à 20 ms mais la durée du temps haut est variable et c'est elle qui permet de modifier l'angle de sortie du servomoteur. Celui-ci peut effectuer des rotations comprises entre -90° et $+90^\circ$ par rapport à son axe principal.

Dans le cadre de notre projet, deux servomoteurs de référence **Parallax Continuous Rotation Servo (#900-00008)** sont utilisés :

- ✓ un pour déployer ou ranger le bras (rotation de 90°),
- ✓ un autre pour descendre le bras au niveau du convoyeur (translation verticale de 28 mm).

Par rapport à la datasheet, nous avons adapté les commandes spécifiées (durée du temps haut) pour que le servomoteur tourne exactement de l'angle souhaité par rapport à notre application. En effet, nous avons constaté un léger décalage entre les commandes indiquées dans la datasheet et les commandes à réaliser en pratique pour obtenir avec précision l'angle voulu. Nous avons donc déterminé les correspondances (pour le premier bras, puis pour le deuxième bras) entre la commande à appliquer (durée du temps haut) et l'angle de rotation d'un servomoteur.

- Pour le servomoteur qui permet la rotation du bras :

Nous avons déterminé que la position angulaire de 0° correspond à un temps haut de 0,7 ms et que la position angulaire de 90° correspond à un temps haut de 1,5 ms (pour un signal de période 20 ms).

Nous en avons déduit la loi affine : $t = 8,89 * \theta + 700$, avec t : la durée du temps haut (en μs) et θ : l'angle de rotation correspondant (en degré).

- Pour le servomoteur qui permet la translation verticale du bras :

Nous avons tout d'abord calculé la correspondance entre l'angle de rotation du moteur et la distance de translation de la crémaillère : 28,5 degrés de rotation du moteur correspondent à une translation verticale du bras de 1cm.

Ensuite, nous avons déterminé que la position verticale de 0 mm (anneau au niveau du convoyeur) correspond à une position angulaire de 0° et à un temps haut de 2,4 ms et que la position verticale de 28 mm (anneau à sa hauteur maximale) correspond à une position angulaire de 79,8° et à un temps haut de 1,6 ms.

Nous en avons déduit la loi affine : $t = -10,0 * \theta + 2400$, avec t : la durée du temps haut (en μs) et θ : l'angle de rotation correspondant (en degré).

3.3 Partie informatique

Pour la partie informatique, nous avons dû partir de la solution existante « PIMS vision industrielle » qui proposait deux interfaces pour l'utilisateur : une sur l'écran tactile d'un boîtier et l'autre générée par le code Python sur l'ordinateur. Ces deux interfaces se présentent sous la forme d'une fenêtre principale qui va ensuite appeler d'autres fenêtres suivant le menu choisi.

3.3.1. Mode « écran tactile »

L'interface tactile développée par l'équipe PIMS (**Figure 8**) permet de commander manuellement :

- Les différents éclairages du dispositif : l'anneau EFFI-Ring RGB autour de la caméra (boutons RED, GREEN, BLUE), les barres de LEDs blanches EFFI-Flex W (boutons Flex1 et Flex2) et l'éclairage lambertien du dôme (bouton Dome). Chaque bouton présent sur la fenêtre principale permet d'allumer ou éteindre chacune de ses lampes indépendamment, ou de les allumer ou de les éteindre toutes ensemble (boutons ALL ON et ALL OFF),
- La mise en marche et l'arrêt (bouton On/Off), la vitesse (curseur) et le sens de défilement (bouton Direction) du convoyeur.

Nous avons donc créé dans cette interface un nouveau bouton « rasant » qui ouvre une nouvelle fenêtre (**Figure 9**) qui permet de contrôler manuellement le bras articulé équipé de son anneau de LEDs. Cette deuxième fenêtre, appelée à partir du bouton « rasant », comporte :

- Un bouton ON / OFF (rouge) qui permet de déployer le bras et d'allumer l'anneau de LEDs ou d'éteindre l'anneau et de replier le bras,
- Un bouton « Bas » qui permet de positionner l'éclairage rasant en bas (au niveau du convoyeur), un bouton « Haut » qui donne la possibilité de le positionner en haut (hauteur maximale du bras) et un curseur pour ajuster sa position verticale,
- Un bouton On/Off (gris) qui permet de mettre en marche et d'arrêter le convoyeur, un bouton Direction qui donne la possibilité de choisir le sens de défilement du convoyeur et de régler la vitesse du convoyeur à l'aide d'un curseur.

La croix en rouge (en haut à droite de l'écran) offre la possibilité de revenir sur la fenêtre générale initiale de l'écran tactile.



Figure 8 : Fenêtre générale de l'écran tactile



Figure 9 : Fenêtre secondaire : menu « rasant » de l'écran tactile

a) Structure générale du code existant – mode écran tactile (PIMS)

Le code présent dans la carte Disco provient de 3 fichiers codés en C sur Mbed : **main.ccp**, **Vision_Indus_IHM.ccp** et **Vision_Indus_IHM.h** qui sont ceux de l'annexe 2. Le « main » commence d'abord par initialiser l'interface de l'écran tactile de la carte dans le mode Ordinateur, puis il appelle la fonction « chose_mode » qui permet de choisir le mode dans lequel l'utilisateur veut utiliser le dispositif. Cette fonction est appelée toutes les 0,01s. Pour effectuer des actions à chaque fois que cette fonction est appelée, la carte Disco reçoit des caractères depuis l'ordinateur via une connexion USB. En particulier, le caractère codé 112 en ASCII permet de se placer en mode ordinateur et le caractère codé 113 permet de se placer dans le mode écran tactile.

Le passage en mode écran tactile peut se faire de deux façons :

- ✓ soit le temps écoulé depuis le dernier caractère envoyé par l'ordinateur dépasse 5 secondes, la carte passe alors automatiquement dans le mode « écran tactile »,
- ✓ soit le mode ordinateur est utilisé et l'utilisateur clique sur le bouton « Disconnect » qui envoie le caractère 113 à la carte pour changer de mode.

Une fois le mode écran tactile enclenché, la carte utilise la fonction **initIHM(113)** pour initialiser l'ensemble des éléments qui composent l'interface (zones de texte, boutons, curseurs). Après initialisation, le code utilise la fonction **updateIHM** qui permet de mettre à jour l'interface

de l'écran tactile (couleurs, accès aux boutons) et d'effectuer des actions (allumer/éteindre un type d'éclairage, changer la vitesse du convoyeur, son sens de défilement, ...) selon ce que l'utilisateur touche sur l'écran, et à l'aide d'une grande boucle `if`. Cette fonction est effectuée jusqu'à ce que l'utilisateur décide de changer de mode en se connectant avec l'interface de l'ordinateur qui envoie le caractère 112.

Avant d'avoir implémenté le code permettant le contrôle des 2 servomoteurs du bras, le bouton « Rasant » visible sur la **figure 8** permettait seulement d'allumer ou d'éteindre l'éclairage rasant.

b) Méthode employée pour ajouter la nouvelle fenêtre (rasant) dans la structure générale PIMS

Pour rendre clair l'utilisation du bras, pour ne pas saturer l'interface déjà existante et pour tenter de séparer les 2 projets, nous avons choisi de réaliser un deuxième menu qui s'ouvre en appuyant sur le bouton « Rasant ». Le menu qui s'ouvre alors est celui de la **figure 9**.

Pour créer cette nouvelle interface, il a fallu implémenter dans le code existant les objets graphiques (textes, boutons, curseur) dans le fichier `Vision_Indus_IHM.ccp`. Ces éléments sont définis entre les lignes 147 et 163, avant le corps des fonctions. (**Annexe 2**)

Comme ce menu s'ouvre lorsque l'utilisateur est en mode écran tactile, donc lorsque la fonction `updateIHM` est appelée en boucle, il faut initialiser la nouvelle sous-interface au sein de cette fonction (entre les lignes 382 et 406). Cette initialisation se fait une seule fois, lorsque l'utilisateur appuie sur le bouton « rasant ».

Une fois initialisée (couleurs des boutons, bras rangé, éclairage éteint), la boucle `while (1)` permet de rester dans cette configuration jusqu'à ce que l'utilisateur appuie sur le bouton « X » pour fermer le menu. Dans cette boucle se trouvent tous les tests permettant de vérifier si l'utilisateur appuie sur un bouton du menu. La carte réalise alors des actions en conséquence.

Pour sortir de cette sous-interface, l'utilisateur appuie donc sur « X ». La carte effectue alors différentes tâches : éteindre l'éclairage rasant, le placer au plus haut puis tourner le bras pour le ranger et enfin initialiser l'écran dans le mode écran tactile pour retrouver l'interface initiale. La ligne 530 (`break ;`) permet de quitter la boucle `while (1)`.

3.3.2. Mode « ordinateur »

L'interface Python sur l'ordinateur permet non seulement d'effectuer les mêmes commandes que sur l'écran tactile, via la communication (liaison série) avec la carte **Disco**, mais aussi d'effectuer un traitement des images acquises par la caméra en temps réel. L'ordinateur est en effet relié à la carte par voix USB et envoie des caractères qui permettent d'effectuer les différentes tâches. (**Figure 10**)

Pour se placer dans le mode ordinateur, l'utilisateur se connecte à la carte avec l'interface de l'ordinateur en envoyant le caractère 112 puis il envoie régulièrement le caractère 114 pour que la carte reste dans le mode ordinateur. Une fois dans ce mode, la carte utilise la fonction `initIHM(112)` pour écrire le texte « mode ordinateur » sur l'écran de la carte. Ensuite, la fonction `computer(data_received)` est appelée toute les 0.01s pour effectuer les actions selon le caractère reçu par la carte. Cette fonction est détaillée dans l'**annexe 2**. Elle utilise en particulier un `switch` qui permet de lister toutes les actions possibles. Pour régler la vitesse du convoyeur et la

translation verticale de l'éclairage rasant, on utilise des **if** qui permettent de calculer à l'aide de lois déterminées expérimentalement la période du signal PWM de commande pour le moteur du convoyeur, et la durée du front montant pour le signal PWM du servomoteur responsable de la translation verticale de l'éclairage.

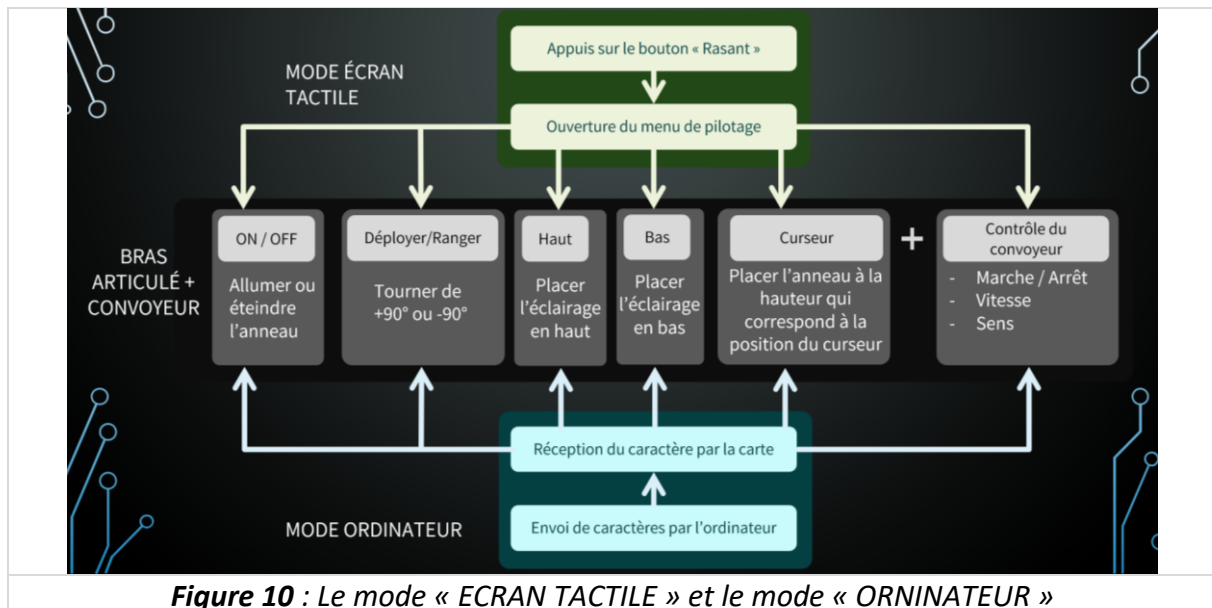


Figure 10 : Le mode « ECRAN TACTILE » et le mode « ORDINATEUR »

a) Structure générale du code existant - mode ordinateur (PIMS)

Les différents fichiers python de l'interface sont listés dans la figure ci-dessous. (**Figure 11**)

Chacune des fenêtres du programme est créée et codée sous forme de « Class ». Par exemple, dans le fichier `main.py`, on trouve la classe « `ChooseCameraWindow` » qui est constituée uniquement d'un menu déroulant dans lequel l'utilisateur peut sélectionner une caméra parmi celles qui sont branchées à son ordinateur, et d'un bouton pour valider et lancer l'application principale.

Dans la fonction d'initialisation de la classe « `MainWindow` », on définit les boutons du menu déroulant permettant d'ouvrir les différents menus de traitement de l'image et on les relie aux classes associées dans les fichiers pythons correspondants.

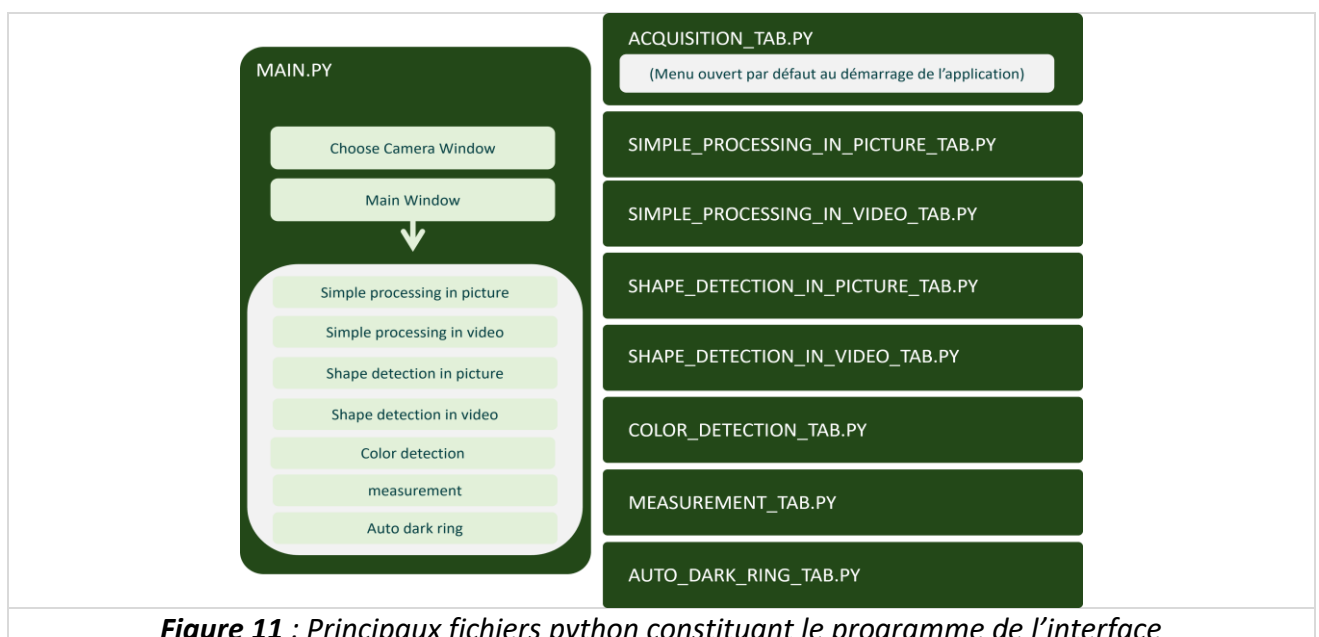


Figure 11 : Principaux fichiers python constituant le programme de l'interface

Voyons plus en détails comment l'option placement automatique de l'anneau a été intégrée au code.

b) Méthode employée pour ajouter la fenêtre (AutoDarkRingTab) dans la structure générale PIMS

Afin de rajouter un menu dans la fenêtre principale, la classe **AutoDarkRingTab** est appelée dans le **main.py** à la ligne 206 (dans la classe **MainWindow**) par :

```
@QtCore.pyqtSlot()
def add_auto_dark_ring(self):
    self.main_tab_widget.addTab(AutoDarkRingTab(self.video_thread, self.ser),
    STR_AUTO_DARK_RING)
```

On aura bien entendu préalablement importé la fonction à la ligne 49

```
from AutoDarkRingTab import AutoDarkRingTab
```

Les variables passées en argument de la fonction ajoutant le tab « **AutoDarkRingTab** » sont donc **self.video_thread** (le flux d'images constituant la vidéo acquise par la caméra) et **self.ser** (les données liées à la communication par USB).

Le code pour l'interface sur l'ordinateur est présenté en **annexe 3**.

c) Fonctionnalités du nouveau menu

Ce menu permet tout d'abord de :

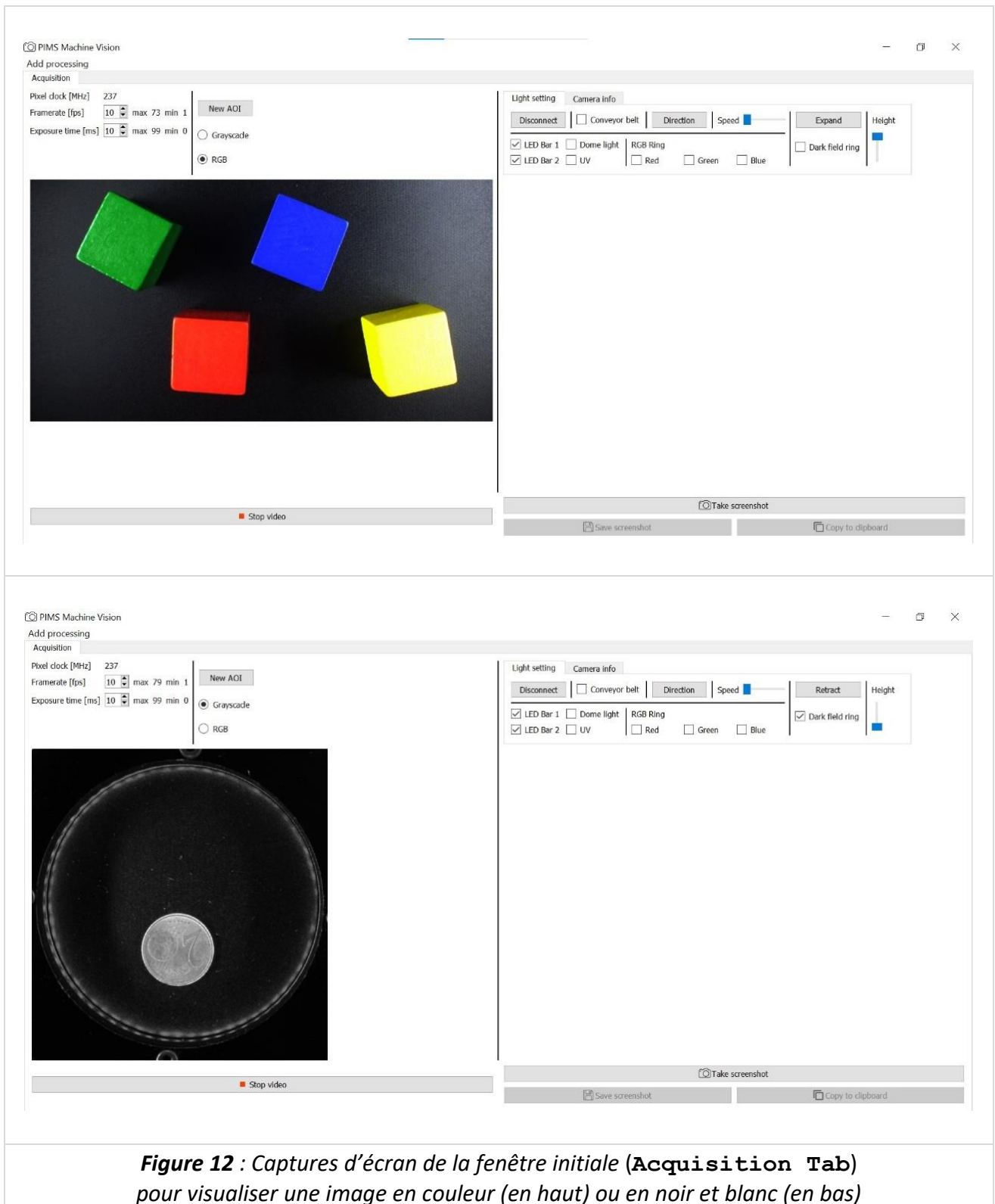
- Détecter les contours des objets,
- Déterminer leur centre et sa distance avec le centre de l'anneau,
- Baisser l'anneau (si l'objet est à moins de 250 pixels du centre de l'anneau) et prendre une photo enregistrée automatiquement dans un dossier,
- Relever l'anneau (si l'objet est à plus de 250 pixels du centre de l'anneau).

Ce menu permet également de faire du processing sur une vidéo et, en particulier, de la détection de contours lors de la vidéo, de la détection de la taille des formes et de la détection des couleurs. Plus précisément, on peut :

- Visualiser l'acquisition vidéo si la caméra est allumée (les images de la vidéo sont dans **self.shown_cv_img**),
- Effectuer des traitements simples de l'image (ouverture, fermeture, « flou gaussien » pour une binarisation optimale),
- Définir les paramètres de détection de contours des objets (aire minimale et maximale des objets d'intérêts),
- Enregistrer une image de l'acquisition manuellement (soit dans le clipboard soit dans un dossier).

Le processus pour lancer l'acquisition automatique des photos est le suivant :

1. Lancer le programme,
2. Sélectionner la caméra (branchée à l'ordinateur). L'utilisateur arrive alors sur la fenêtre ci-dessous (**Figure 12**). Il existe deux possibilités pour visualiser une image : soit en couleur (checkbox RGB), soit en noir et blanc (checkbox Greyscale).



3. Allumer et déployer le bras de l'éclairage rasant grâce aux boutons en haut à droite de la fenêtre (checkbox «**Dark Field Ring**», bouton «**Expand/Retract**», curseur «**Height**»),
4. Lancer l'acquisition vidéo (boutons en bas à gauche) et sélectionner la zone d'intérêt grâce au bouton **New AOI** (carré centré sur le centre de l'anneau),
5. Ouvrir le menu «**AutoDarkRing**». L'utilisateur arrive alors sur la fenêtre ci-dessous : (Figure 13)

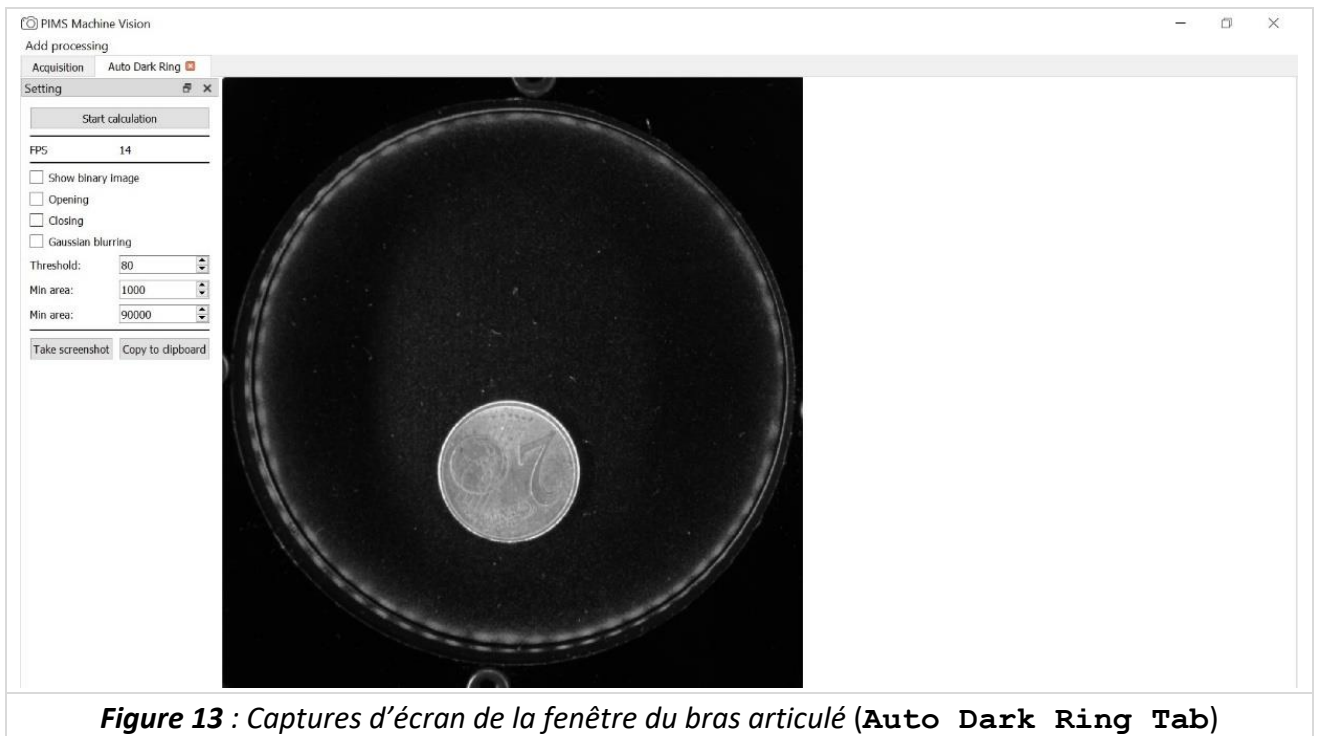


Figure 13 : Captures d'écran de la fenêtre du bras articulé (Auto Dark Ring Tab)

6. Cliquer sur le bouton «**Start calculation**».

Ce dernier permet de :

- Détecter les contours des formes et déterminer les coordonnées de leur centroïde,
- Calculer la distance de ces centres par rapport au centre de l'anneau,
- Déclencher le mécanisme de prise de photo en éclairage rasant si cette distance est inférieure au seuil fixé dans le programme (nous avons choisi 250 pixels).

Ce mécanisme comporte les étapes suivantes :

- Abaisser l'anneau,
 - Prendre une photo et la stocker dans un dossier (à choisir dans le programme),
 - Relever l'anneau.
-
- Si la qualité de la vidéo acquise n'est pas satisfaisante, il existe également des boutons pour effectuer un traitement de l'image car le programme permettant de détecter les contours des formes fonctionne sur des images binarisées. (**Figure 14**)
Pour améliorer la binarisation de la vidéo, il est possible d'effectuer
 - Une ouverture,
 - Une fermeture,
 - Un flou gaussien (pour lisser les contours),
 - Choisir une autre valeur de seuil pour la binarisation.

 - Pour optimiser la détection de contour il est également possible de définir
 - La taille maximale des formes à détecter,
 - La taille minimale des formes à détecter.

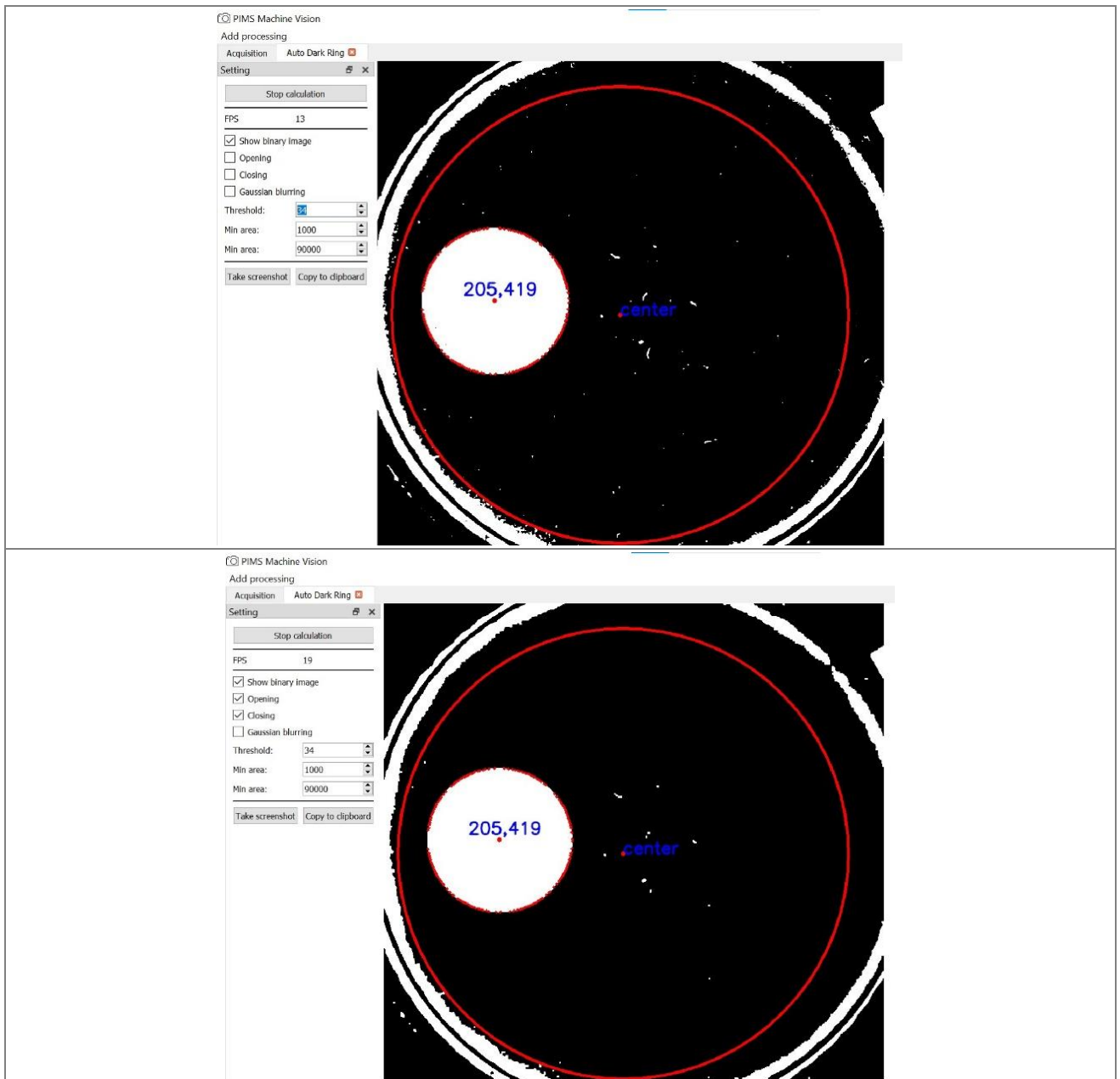


Figure 14 : Captures d'écran de la fenêtre du bras articulé (Auto Dark Ring Tab) : visualisation de l'image binaire sans (en haut) et avec (en bas) opérations morphologiques

4. Tests et Validation

4.1 Validation du contrôle manuel par écran tactile et par ordinateur

Après les différents réglages et ajustements effectués pour le dimensionnement mécanique du bras et après l'intégration de l'électronique sur la carte Disco, nous avons effectué la validation du contrôle manuel (par écran tactile et par ordinateur) du bras articulé avec l'anneau de LEDs sur le montage complet. (Figure 15)

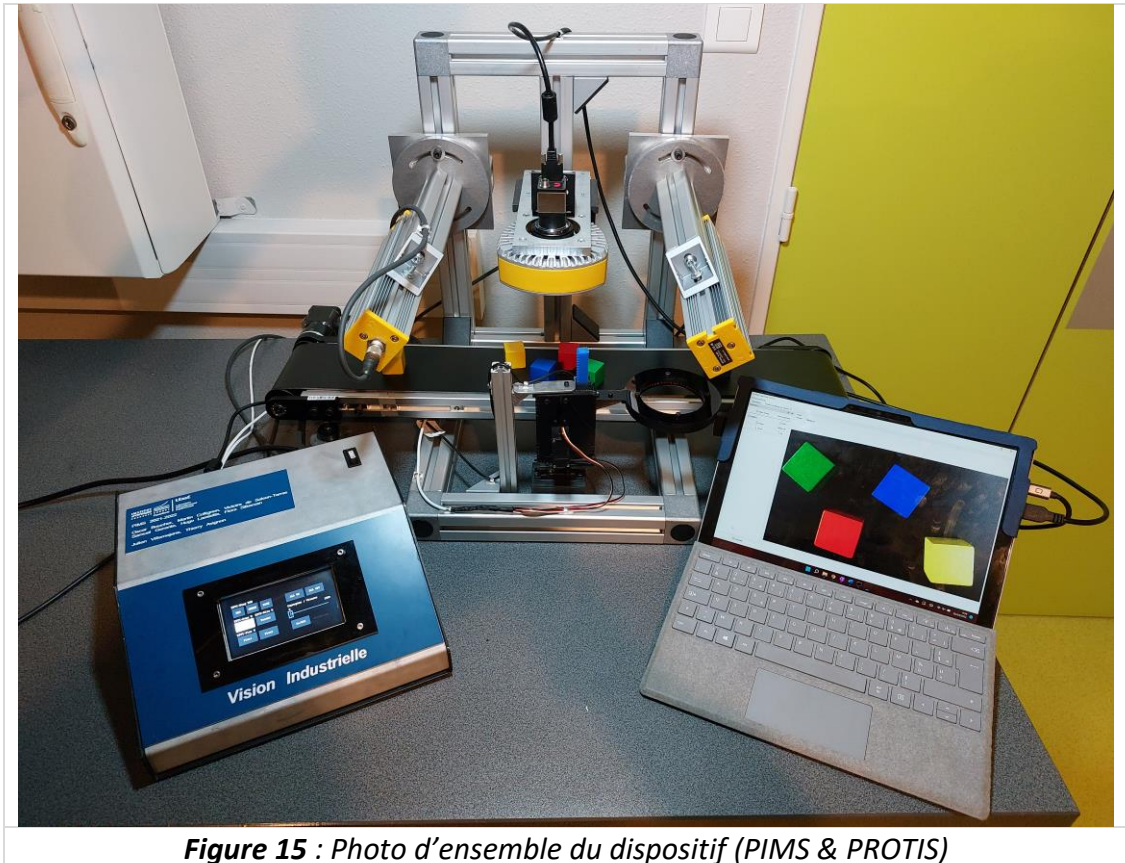


Figure 15 : Photo d'ensemble du dispositif (PIMS & PROTIS)

Pour cela, nous avons vérifié le bon fonctionnement de chaque bouton de commande dans les différentes fenêtres en se plaçant dans des configurations différentes.

Nous avons essentiellement rencontré des soucis d'ajustement de commandes à appliquer aux servomoteurs. En effet, pour certaines commandes, les servomoteurs dépassaient la limite de 90° et forçaient. Nous avons donc ajusté nos commandes pour éviter que ceux-ci ne forcent quelque-soit la situation.

Globalement, la validation du contrôle manuel, sur écran tactile ou sur ordinateur s'est déroulé sans difficulté majeure.

4.2 Validation du mode automatisé

Une fois le mode manuel validé, nous sommes passés à l'étape de validation du mode automatisé pour répondre à notre problématique de départ.

Nous avons rencontré deux problèmes principaux.

- Le premier problème a été un problème de communication avec la carte. En effet, les variables contenant les données de la communication série étaient définies dans le fichier main.py, et nous avons rencontré des difficultés à les importer dans le fichier AutoDarkRingTab.py correctement, en respectant la syntaxe des classes python. Finalement, en se plongeant dans la documentation en ligne, nous avons obtenu des réponses.
- Le deuxième problème a été d'avoir une bonne définition de la zone d'intérêt et de parvenir à réaliser un bon traitement de l'image (binarisation, ouverture, fermeture, flou gaussien).

Dans un premier temps, plusieurs objets indésirables étaient détectés par le programme et provoquaient donc la mise en place non désirée de l'anneau.

- En effet, comme convoyeur n'est pas uniformément noir, les nombreux petits défauts et reflets de l'éclairage sur celui-ci sont identifiés comme des petites formes, et lorsque celles-ci se rapprochent du centre de l'anneau, celui-ci se baisse et des photos sont prises.

→ Pour résoudre ce problème, nous avons donc implémenté la possibilité pour l'utilisateur de régler la taille minimale des objets à détecter.

- L'anneau de LED est également détecté comme une forme (dont le centre est par définition au centre de la zone d'intérêt) et provoque donc en permanence la mise en place du dispositif.

→ Pour éviter ce dysfonctionnement, nous avons donc défini une zone d'intérêt circulaire (en rouge sur la **figure 16**) en dehors de laquelle aucune forme n'est prise en compte.

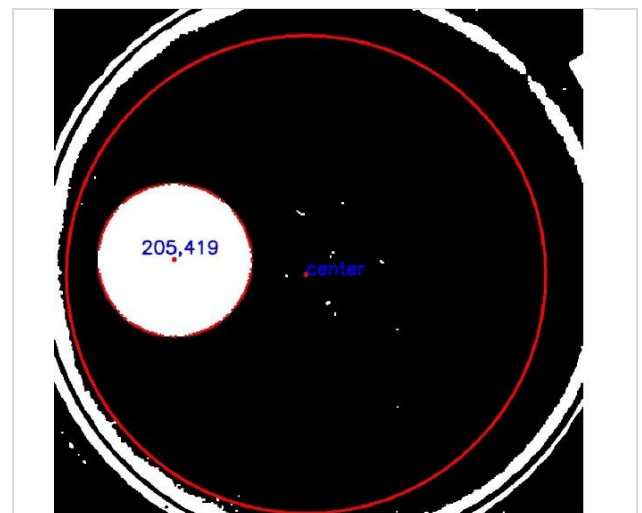


Figure 16 : Visualisation de la zone d'intérêt circulaire (en rouge) en dehors de laquelle aucune forme n'est prise en compte

Après toutes ces corrections et ces réglages, nous avons pu valider le mode automatisé de l'ensemble du dispositif.

5. Gestion du projet

5.1 Planning et organisation de l'équipe

Notre projet ProTIS a suivi le planning et l'organisation d'équipe suivants :

Etapas, actions, tâches,...	Qui	1	2	3	4	5	6	7
		25-janv	08-févr	01-mars	08-mars	22-mars	28-mars	05-avr
Réponse à appel d'offre de la société SOLEC - Problématique	tous							
Cahier des charges	tous							
Schéma bloc 1	tous							
Constitution de l'équipe, écriture planning, répartition des tâches	tous							
1ère présentation du projet à la société SOLEC	tous							
Reprise en main de Solidworks	tous							
1er choix de conception pour le prototype : design du bras, positionnement, mouvement	tous							
Schéma fonctionnel	tous							
Choix du matériel : -2 moteurs à impulsion, source annulaire rasante monochrome (rouge)	tous							
MECANIQUE : Design des plans du bras sur Solidworks de la pièce du bas	Martin							
MECANIQUE : Design des plans du bras sur Solidworks de la pièce du dessus	Tong							
MECANIQUE : Design des plans du bras sur Solidworks de la pièce qui tient l'éclairage	Victoire, Albane							
Commande du matériel / se procurer le matériel	tous							
ELECTRONIQUE : Connexion avec la carte Nucléo qui gère les servomoteurs et pilotage des servomoteurs sur Mbed - Tutoriel LenSE (contrôler un mouvement angulaire) Fonctionnement avec 2 cartes : une pour la commande de l'interface tactile qui contrôle l'éclairage et le convoyeur (PIMS- carte Disco) et une qui commande les servomoteurs (carte Nucléo)	Victoire, Albane							
Conception : Translation verticale du bras (choix technologique) utilisation d'un servomoteur (adapté à notre besoin : petit déplacement)	tous							
Conception : Rotation du bras (choix technologique) - utilisation d'un moteur pas à pas (mise en place complexe --> solution rejetée) - utilisation d'un servomoteur : adapté à notre besoin (rotation de 90°) et mise en place plus simple	tous							
Réalisation du bras / assemblage provisoire avec l'anneau	tous							
Conception & tests / commande des servomoteurs : - Tests sur 2 servomoteurs indépendants du bras pour maîtriser leur angle de rotation (code Matlab)	tous							
Conception & test / commande translation et rotation du bras : - Test de la rotation et de la translation du bras <u>en dehors du convoyeur</u> (code Matlab) - Tests de la rotation et de la translation du bras <u>sur le convoyeur</u> (code Matlab) : adaptation du code aux contraintes du montage	tous							
Conception : choix technologique : Choix de 1 ou 2 cartes ? - solution retenue : 1 carte (carte Disco) - commande du bras directe avec l'interface qui contrôle le convoyeur et les éclairages (nombre de ports de la carte Disco suffisant) - Tutoriel LenSE (Comment échanger des données entre deux systèmes communicants ?)	Victoire, Albane, Tong							
Modification de l'interface qui contrôle le convoyeur et les éclairages afin d'afficher 2 boutons qui permettent de contrôler le bras (le ranger ou le déployer)	Martin							

Etapas, actions, tâches,...	Qui	1	2	3	4	5	6	7
		25-janv	08-févr	01-mars	08-mars	22-mars	28-mars	05-avr
Electronique : Soudure des fils correspondants à l'alimentation des servomoteurs sur l'alimentation du boîtier. Soudure des fils de commande des servomoteurs aux broches D0 et D1 de la carte Disco.	Martin, Albane							
Essai (sur la carte Nucléo qui contrôle les servomoteurs) avec le nouveau bras imprimé, améliorations / avantages : - Rotation totale de 90 degrés - Pas de frottements	Victoire, Tong							
Conception : - Calcul de la correspondance entre l'angle de rotation du servomoteur et la translation verticale du bras - Calcul des correspondances entre les commandes et la distance de translation horizontale et l'angle de rotation du nouveau bras - Ajustement de ces commandes pour que les moteurs ne forcent pas	Victoire, Tong							
Essai avec le nouveau bras imprimé et la carte Disco définitive qui contrôle l'ensemble (convoyeur, interface, servomoteurs)	tous							
Conception : adaptation design bras --> Impression d'un nouveau bout du bras (les trous pour les vis sur l'extrémité du bras doivent correspondre aux trous sur l'anneau)	tous							
Conception : Création sur l'interface tactile de 3 boutons et d'un curseur afin de piloter manuellement le bras - Possibilité, grâce au boîtier de commande, de déployer ou replier le bras manuellement, d'allumer l'éclairage, de le baisser jusqu'en bas ou de le monter jusqu'en haut ou de régler sa position verticale de façon précise	Martin, Albane							
Conception / Tests & Réglages : - Détermination et affichage sur le boîtier de la vitesse du tapis et du pourcentage correspondant pour le curseur (document vitesse convoyeur) pour pouvoir déterminer les temps à donner au code python pour l'automatisation du processus . - Détermination du temps disponible pour prendre la photo et baisser le bras tant que l'objet est dans le champ de la caméra délimité par l'intérieur de l'anneau	Martin, Albane, Tong							
Validation du fonctionnement par rapport au cahier des charges Validation du contrôle manuel (écran tactile & ordinateur)	Martin, Albane, Tong							
Automatisation du processus : - Une interface sur l'ordi pilotée par un programme en Python permet de faire la même chose qu'avec l'écran tactile (manuellement déployer ou replier le bras, allumer l'éclairage, le baisser jusqu'en bas ou le monter jusqu'en haut ou régler sa position verticale de façon précise) et d'effectuer un traitement des images	tous							
Automatisation du processus : - Communication avec la carte réussie. Amélioration du processus d'automatisation (choix de la distance entre le centre de la caméra et le centre de l'objet pour déclencher l'abaissement du bras, choix de la vitesse du tapis, ...) ----- ----- - Amélioration du traitement d'images obtenues par le processus automatisé (définir le seuil de niveaux de gris et la zone d'intérêt, régler le temps d'exposition et le nombre d'images par seconde.)	tous Victoire							
Validation du fonctionnement par rapport au cahier des charges Validation du contrôle automatisé (ordinateur) Identification des améliorations possibles	tous							
Préparation de la présentation commerciale	tous							
Installation et Présentation commerciale	tous							
Rédaction du rapport technique	tous							

5.2 Bilan de l'équipe sur ce projet

Ce projet a été une expérience très enrichissante non seulement d'un point de gestion de projet et de travail d'équipe, mais également d'un point de vue technique et sur les compétences acquises.

Lors de la première séance du projet, nous avons travaillé tous ensemble pour préciser le cahier des charges, le schéma bloc qui a ensuite donné lieu au schéma fonctionnel, le planning du projet et l'organisation de l'équipe. Cette étape a été fondamentale pour bien définir notre projet, nos objectifs communs et pour mettre en place une communication transparente et partagée à travers la plateforme collaborative Microsoft Teams. Après chaque séance, nous rédigeons un petit compte-rendu sur un document partagé, ce qui permettait de faire un bilan de nos principales avancées mais également de pointer du doigt les problèmes techniques rencontrés en séance pour anticiper le travail à faire sur les prochaines étapes afin de tenir à la fois les objectifs que nous nous étions fixés dans le cahier des charges, ainsi que le planning.

Ensuite, nous avons fonctionné par binômes ou par trinôme ou seul sur certains problèmes, afin de paralléliser les tâches pour plus d'efficacité. Cependant, nous étions en général tous ensemble pour régler les problèmes plus complexes. Globalement, nous avons eu une excellente ambiance de travail au sein de notre équipe sans doute grâce à cette bonne communication que nous avons mise en place et grâce à l'écoute des uns des autres que nous avons eue, en étant attentifs aux remarques de chacun pour converger vers une solution optimale. Lorsqu'un problème délicat se présentait, nous avons su réfléchir ensemble et nous entraider. Nous ne nous sommes pas enfermés dans des rôles prédéfinis et une répartition des tâches trop rigide, nous avons préféré l'union, l'adaptabilité, la flexibilité et une grande transparence les uns avec les autres pour plus de créativité et d'efficacité.

D'un point de vue technique, ce projet nous a permis de tous travailler sur plusieurs métiers : mécanique, électronique et informatique. Cette pluridisciplinarité a été très formatrice. Nous avons également appris à piloter des servomoteurs et nous avons développé nos compétences en ce qui concerne l'échange de données entre deux systèmes communicants. Pour cela, nous avons utilisé deux langages de programmation : C et Python.

Par ailleurs, les tests et validations ont été progressifs avec des rebouclages réguliers sur la conception pour apporter des modifications, par petites touches, à la conception initiale et adapter les réglages nécessaires.

- ✓ Par exemple, sur la partie mécanique nous avons dû désigner un deuxième bras articulé pour régler les problèmes de frottements et de fixation du premier bras.
- ✓ Concernant la partie électronique, nous avons tout d'abord utilisé seulement une carte Nucléo pour contrôler les 2 servomoteurs (d'abord en dehors du convoyeur puis dans le montage global avec le convoyeur). Nous avons ensuite implémenté le tout dans la carte Disco (déjà utilisée sur PIMS) qui avait la capacité de réaliser l'ensemble des commandes (servomoteurs, éclairages et convoyeur) en présentant l'avantage de ne pas avoir à gérer en plus la communication entre les deux cartes.
- ✓ Pour la partie informatique, nous sommes partis des algorithmes de détection de forme de PIMS pour les adapter à l'éclairage rasant. Ceci a présenté l'avantage de ne pas repartir de zéro, mais également la contrainte de devoir intégrer de nouvelles fenêtres dans un programme initial plus vaste. Puis, il a fallu effectuer de nombreux réglages et calibrages pour arriver à un dispositif automatisé qui fonctionne dans différents contextes. En particulier, nous avons dû régler des

problèmes de communication entre l'ordinateur et la carte, puis avons dû adapter différents paramètres (comme le choix de la distance entre le centre de la caméra et le centre de l'objet pour déclencher l'abaissement du bras, le choix de la vitesse du tapis). Enfin il a fallu améliorer le traitement d'images en réglant d'autres paramètres (comme le seuil de niveaux de gris, la sélection de la zone d'intérêt, le réglage du temps d'exposition ou encore du nombre d'images par seconde de la caméra).

Ainsi, nous nous sommes coordonnés et nous avons avancé dans la même direction en unissant nos forces, nos aptitudes et nos compétences pour aboutir à une solution qui fonctionne et qui répond au cahier des charges fixé. Nous sommes très fiers de ce que nous avons accompli ensemble.

6. Conclusion

Ce projet s'est avéré instructif à la fois en termes de travail de groupe (sur le plan organisationnel et humain), mais aussi en termes d'innovation et de compétences acquises. Nous tenons à remercier les équipes du LEnSE, et en particulier M. Villemejeane et M. Avignon pour leur aide et pour nous avoir permis de mener à bien ce projet au cours duquel nous avons tant appris.

Au terme de ce projet, nous avons réussi à obtenir ce que nous nous étions fixés au niveau du cahier des charges. Nous avons non seulement validé le contrôle manuel du bras articulé (optimisant l'éclairage rasant) par l'ordinateur et par l'écran tactile, mais également le mode automatisé par ordinateur qui permet en plus un traitement des images de la caméra en éclairage rasant.

Comme évolutions futures, afin d'automatiser plus finement et de systématiser le contrôle qualité (en vision industrielle) pour différentes tailles d'objets nécessitant un éclairage rasant, nous avons pensé à implémenter au niveau du convoyeur un capteur qui mesure précisément la taille de l'objet. Nous envisageons aussi d'implémenter d'autres algorithmes pour permettre d'autres traitements des images obtenues avec l'éclairage rasant, par exemple la détermination du pas de vis. Nous pourrions également ajouter un système de tri pour trier les pièces en sortie du convoyeur en fonction du choix de l'utilisateur.

Notre équipe reste évidemment à votre disposition pour toute question complémentaire.

7. Annexes

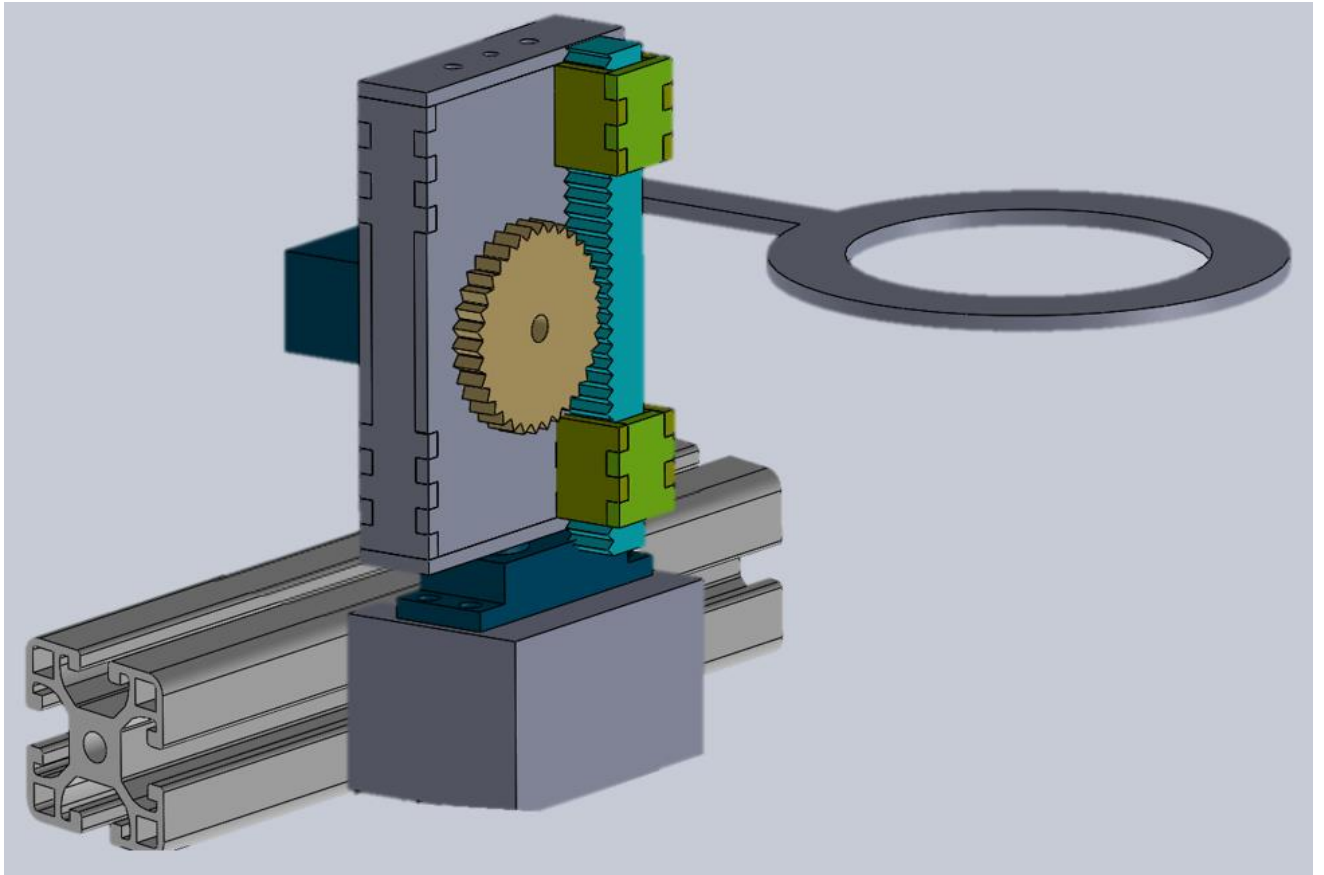
Annexe 1 : Bras articulé modélisé avec Solidworks

Annexe 2 : Code interface écran tactile

Annexe 3 : Code interface ordinateur

Annexe 1 :

Bras articulé modélisé avec Solidworks



Annexe 2 : Code interface écran tactile

main.ccp

```

1  /*****/
2  /* Vision Industrielle IHM */
3  /* main.ccp */
4  /*****/
5  /* L'EnSE / Julien VILLEMEJANE / Institut d'Optique Graduate School */
6  /*****/
7  /* PIMS Vision Industrielle : */
8  /* Oscar BOUCHER Martin COLLIGNON Victoire DE SALEON */
9  /* Samuel GERENTE Hugo LASSIETTE Flora SILBERZAN */
10 /*****/
11 /* ProTIS : */
12 /* Martin COLLIGNON Albane LAPRAS */
13 /* Victoire de SALEON Tong ZHU */
14 /*****/
15 /* PRINCIPE : */
16 /* Le main initialise l'interface en mode ordinateur puis peut mettre à */
17 /* jour l'interface et faire une nouvelle initialisation si l'utilisateur */
18 /* veut changer de mode. Toutes ces actions dépendent du caractère reçu */
19 /* par la carte. Les actions sont séparées de 0,01s grâce à un ticker. */
20 /* Les caractères utilisés dans le main sont les suivants : */
21 /* - 112 : mode Ordinateur */
22 /* - 113 : mode Ecran tactile */
23 /* - 114 : vérification que l'ordinateur est toujours connecté */
24 /* (Uniquement utilisé dans le mode Ordinateur) */
25 /*****/
26 /* Library - Vision_Indus_IHM.cpp file */
27 /*****/
28 /* Testé sur DISCO-F746 / 22 Mars 2022 */
29 /*****/
30 /* GUI library from : */
31 /* 2018/03/12, Copyright (c) 2018 MIKAMI, Naoki */
32 /*****/
33
34 #include "F746_GUI.hpp"
35 #include "Vision_Indus_IHM.h"
36
37 Serial rs232(USBTX, USBRX); // Connexion between the card and the computer
38 char mode = 112; // Initialization to computer mode
39 char pmode = 0; // Previous mode
40 char data_received = 0; // Character received from the computer
41 Ticker ticker_data; // Define the frequency of acquisition
42 Timer t; // Timer to check if the computer is still connected
43 // (only in computer mode)
44
45 void chose_mode(void);
46 // _____//
47 // Function that allows to : //
48 // - Change mode //
49 // - Initialize the interface when the mode changes //
50 // - Update the interfaces following the mode the card is in //
51 // In the first part, it gets the data sent from the computer if it is //
52 // readable. //
53 // Then, it does the actions above following what data is received. //
54 // This function is attached to a ticker in the main that calls it //
55 // every 0.01s. //
56 // _____//
57
58 int main(){
59 rs232.baud(115200); // Set the speed of the communication between the card
60 // and the computer
61 initIHM(mode); // Initialization to computer mode
62 t.start(); // start the timer
63 ticker_data.attach(&chose_mode, 0.01); // Get data from the computer every
64 // 0.01s and modify the mode
65 while(1) {}
66 }

```

```
67
68
69 void chose_mode(void){
70     if(rs232.readable()){                // Stock the data if it is readable
71         data_received = rs232.getc();
72         rs232.putc(data_received);
73
74         if(data_received == 112){       // Computer mode
75             t.start();                  // Start the timer
76             mode = 112;
77         }
78
79 // 114 is sent regularly by the computer so that the card stays in computer mode
80     if(mode == 112 && data_received == 114)
81         t.reset();                    // Reset timer because computer is still conected
82
83 // LCD-screen mode
84     if(data_received == 113){
85         mode = 113;
86         t.stop();                      // Stop and reset the timer
87         t.reset();                    // (we don't need it in LCD-screen mode)
88     }
89
90 // If card in computer mode, do an action following the data received from it
91     if(mode == 112)
92         computer(data_received);
93
94 }
95
96 // Control if the computer is still sending data (>5s meeans we change mode)
97     if(mode == 112 && t.read()>5){
98         mode = 113;                    // If not connected anymore go to LCD-screen mode
99         t.stop();                      // Stop and reset the timer
100        t.reset();
101    }
102
103 // Initialize the interface if the mode is different from the previous one
104     if(pmode!=mode && (mode == 112 || mode == 113)) {
105         initIHM(mode);                // Initialization in the actual mode
106         pmode = mode;                // When mode changes, previous mode changes too
107     }
108
109 // Update the LCD-screen interface
110     if(mode == 113) {
111         updateIHM();                  // Update when the user touches the screen
112     }
113 }
114
115
```

Vision_Indus_IHM.h

```

1  /*****
2  /* Vision Industrielle IHM
3  /* Vision_Indus_IHM.h
4  /*****
5  /* L'EnSE / Julien VILLEMEJANE / Institut d'Optique Graduate School
6  /*****
7  /* PIMS Vision Industrielle :
8  /* Oscar BOUCHER Martin COLLIGNON Victoire DE SALEON
9  /* Samuel GERENTE Hugo LASSIETTE Flora SILBERZAN
10 /*****
11 /* ProTIS :
12 /* Martin COLLIGNON Albane LAPRAS
13 /* Victoire de SALEON Tong ZHU
14 /*****
15 /* Définition des variables globales, des entrées et sorties de la carte
16 /* Disco et des fonctions utilisées dans Vision_Indus_IHM.ccp.
17 /*
18 /* Les variables et différents objets définis dans Vision_Indus_IHM.h sont
19 /* expliqués plus en détails dans Vision_Indus_IHM.ccp.
20 /*****
21
22 #include "F746_GUI.hpp"
23 #include "mbed.h"
24
25 // Color ARGB (8-8-8-8)
26 #define COLOR_OFF 0xFF666666 // Gris foncé
27 #define CONV_DIR_FW 1 // Sens de rotation horaire (Forward)
28 #define CONV_DIR_RV 0 // Sens de rotation anti-horaire (Reverse)
29
30
31 /* Entrées, sorties et variables pouvant être utilisées dans Vision_Indus_IHM.ccp */
32 // Flex
33 extern DigitalOut flex1_out; // Barre de Leds 1
34 extern DigitalOut flex2_out; // Barre de Leds 2
35 // Dome
36 extern DigitalOut dome_out; // Dome
37 // Rasant
38 extern DigitalOut rasant_out; // Eclairage annulaire rasant
39 // Effi-RGB
40 extern DigitalOut ringRGB_R_out; // Leds rouges anneau
41 extern DigitalOut ringRGB_G_out; // Leds vertes anneau
42 extern DigitalOut ringRGB_B_out; // Leds bleues anneau
43
44
45 /* Eléments graphiques et variables */
46 extern Label title;
47 extern Label subtitle;
48 // All On-Off
49 extern Button light_on;
50 extern Button light_off;
51 extern uint8_t all_on_active;
52 // EFFI-Ring
53 extern Label roundRGB;
54 extern Button roundRGB_R;
55 extern Button roundRGB_G;
56 extern Button roundRGB_B;
57 extern uint8_t roundRGB_R_active;
58 extern uint8_t roundRGB_G_active;
59 extern uint8_t roundRGB_B_active;
60 // EFFI-Dome
61 extern Label dome;
62 extern Button dome_W;
63 extern uint8_t dome_active;
64 // EFFI-Rasant
65 extern Label rasant; // Texte
66 extern Button rasant_R; // Bouton
67 extern uint8_t rasant_active; // 1 si allumé, 0 si éteint
68 // EFFI-Flex
69 extern Label flex1;
70 extern Button flex1_W;
71 extern uint8_t flex1_active;
72 extern Button flex2_W;
73 extern uint8_t flex2_active;

```

 : Zones du code
utilisées pour le projet
ProTIS

```
74 // Conveyor
75 extern Label conveyor; // Texte
76 extern NumericLabel<int> conv_speed_lab; // Affichage vitesse
77 extern SeekBar conv_speed; // Curseur
78 // Bras pour positionner l'éclairage rasant
79 extern SeekBar bras_pos; // Curseur
80
81 /* Fonctions */
82 // Initialisation
83 void initIHM(char mode);
84 //
85 // Entrée : //
86 // mode : Chaîne de caractère associée à un mode de fonctionnement de la//
87 // carte Disco (112 = mode "Ecran tactile"; 113 = mode "Ordinateur" //
88 // Principe : Initialiser l'écran tactile de la carte et les variables selon//
89 // le mode choisi par l'utilisateur. Fonction à utiliser à chaque fois //
90 // que l'utilisateur veut changer de mode. //
91 //
92
93 // Mise à jour de l'interface de l'écran tactile
94 void updateIHM(void);
95 //
96 // Pas d'entrée ni de sortie. //
97 // Principe : Mettre à jour l'interface lorsque la carte est en mode "Ecran //
98 // tactile" et que l'utilisateur contrôle le dispositif avec l'écran //
99 // tactile. Une action est réalisée à chaque fois qu'un bouton ou un //
100 // curseur est touché. //
101 // Cette fonction contient une partie permettant l'ouverture d'un//
102 // menu de contrôle du bras permettant de placer manuellement l'éclairage//
103 // rasant. Ce menu s'ouvre lors de l'appui sur le bouton "Rasant". //
104 //
105
106 // Actions à réaliser en fonction de la donnée reçue
107 void computer(char data_received);
108 //
109 // Entrée : //
110 // data_received : chaîne de caractères correspondant à la donnée //
111 // envoyée par l'ordinateur et lue par la carte Disco //
112 // Principe : Effectuer une action selon la donnée reçue (Allumer/Eteindre //
113 // un éclairage, changer la vitesse du convoyeur, son sens de rotation, //
114 // Deployer/Ranger le bras articulé et traduire verticalement //
115 // l'éclairage rasant). //
116 // La liste des caractères utilisés ainsi que l'action qui leur //
117 // est associée est présente dans Vision_Indus_IHM.ccp. //
118 //
119
120 // Actions sur le convoyeur
121 void moveConveyor(char dir, int speed_us);
122 //
123 // Entrées : //
124 // dir : chaîne de caractères correspondant au sens de rotation du //
125 // convoyeur (direction). CONV_DIR_FW pour le sens horaire (Forward);//
126 // CONV_DIR_RV pour le sens anti-horaire (Reverse) //
127 // speed_us : entier correspondant à la période du signal PWM de commande//
128 // du moteur pas à pas du convoyeur. Valeur en microseconde. //
129 // Principe : Modifier la période du signal PWM pour changer la vitesse de //
130 // défilement du convoyeur et modifier le sens de défilement du convoyeur//
131 // selon l'argument d'entrée. //
132 //
```

```

133
134 void stopConveyor(void);
135 // _____ //
136 // Pas d'entrée ni de sortie //
137 // Principe : Arrêter le convoyeur en le désactivant et en rendant la //
138 // commande nulle. //
139 // _____ //
140
141 int commande_rot(int angle);
142 // _____ //
143 // Entrée : //
144 // angle : entier correspondant à l'angle dont on veut faire tourner le //
145 // bras selon l'axe vertical. 0 bras rangé (parallèle au convoyeur //
146 // et à côté); 90 bras déplié (perpendiculaire au convoyeur, éclairage//
147 // aligné avec la caméra). //
148 // Sortie : Entier correspondant à la durée du front montant du signal PWM //
149 // à appliquer pour atteindre l'angle souhaité. Valeur en microseconde. //
150 // Principe : Tourner selon l'axe verticale le bras qui supporte l'éclairage//
151 // rasant de l'angle entré en argument. //
152 // _____ //
153
154 int commande_HB(int angle);
155 // _____ //
156 // Entrée : //
157 // angle : entier correspondant à l'angle dont on veut faire tourner le //
158 // le servomoteur responsable de la translation. 0 correspond à la //
159 // position basse, 80 correspond à la position haute //
160 // Sortie : Entier correspondant à la durée du front montant du signal PWM //
161 // à appliquer pour atteindre l'angle souhaité. Valeur en microseconde. //
162 // Principe : Tourner le servomoteur pour le placer à l'angle souhaité //
163 // (compris entre 0° (bas) et 80° (haut)). //
164 // _____ //

```

Vision_Indus_IHM.ccp

```

1 /******//
2 /* Vision Industrielle IHM */
3 /* Vision_Indus_IHM.ccp */
4 /******//
5 /* L'Ense / Julien VILLEMEJANE / Institut d'Optique Graduate School */
6 /******//
7 /* PIMS Vision Industrielle : */
8 /* Oscar BOUCHER Martin COLLIGNON Victoire DE SALEON */
9 /* Samuel GERENTE Hugo LASSIETTE Flora SILBERZAN */
10 /******//
11 /* ProTIS : */
12 /* Martin COLLIGNON Albane LAPRAS */
13 /* Victoire de SALEON Tong ZHU */
14 /******//
15 /* PRINCIPE : */
16 /* Vision_Indus_IHM.ccp contient l'ensemble des fonctions qui permettent */
17 /* d'initialiser et de mettre à jour les interfaces dans les 2 modes */
18 /* (Ordinateur et Ecran tactile). */
19 /* */
20 /* La première partie permet de mettre en place les éléments présents dans */
21 /* les interfaces et de définir l'ensemble des variables. */
22 /* */
23 /* InitIHM : Permet d'initialiser l'interface selon le mode choisi. La */
24 /* fonction définit les éléments présents à l'écran ainsi que leur couleur. */
25 /* Elle affecte aussi les bonnes valeurs initiales à toutes les variables */
26 /* utiles. */
27 /* */
28 /* updateIHM : Permet de mettre à jour l'interface dans laquelle la carte */
29 /* était à l'étape précédente. La fonction est composée de 2 parties : */
30 /* - la première met à jour l'interface de l'écran tactile lorsqu'un */
31 /* bouton est touché par l'utilisateur */
32 /* - la seconde effectue une action sur les éclairages, le convoyeur */
33 /* ou le bras articulé selon le caractère envoyé par l'ordinateur est */
34 /* reçu par la carte (l'écran de la carte n'a pas besoin d'être mis à */
35 /* jour */
36 /* */
37 /* moveConveyor : permet de changer la vitesse et la direction du convoyeur */
38 /* */
39 /* stopConveyor : permet d'arrêter le convoyeur */
40 /* */

```

```

41 /* commande_rot : permet de choisir l'angle de rotation du bras articulé */
42 /* selon l'axe verticale (angle compris entre 0° et 90°) */
43 /* */
44 /* commande_HB : permet de translater verticalement l'anneau selon l'angle */
45 /* correspondant (compris entre 0° et 80°) */
46 /* */
47 /* Les caractères (codés en ASCII) utilisés dans Vision_Indus_IHM.ccp sont */
48 /* les suivants : */
49 /* - de 0 à 50 : choisir la vitesse de rotation du tapis (à l'aide */
50 /* d'une loi reliant le nombre à la vitesse) */
51 /* - de 60 à 100 : choisir la position verticale de l'anneau (à */
52 /* l'aide d'une loi reliant le nombre à la vitesse) */
53 /* - 101 : allumer toutes les sources d'éclairage */
54 /* - 102 : éteindre toutes les sources d'éclairage */
55 /* - 103 : allumer/éteindre les leds rouges */
56 /* - 104 : allumer/éteindre les leds vertes */
57 /* - 105 : allumer/éteindre les leds bleues */
58 /* - 106 : allumer/éteindre le dome */
59 /* - 107 : allumer/éteindre l'éclairage annulaire rasant */
60 /* - 108 : allumer/éteindre la barre de Leds 1 */
61 /* - 109 : allumer/éteindre ma barre de Leds 2 */
62 /* - 110 : changer la direction du convoyeur */
63 /* - 111 : arrêter/démarrer la direction du convoyeur */
64 /* - 115 : placer l'anneau en position haute */
65 /* - 116 : placer l'anneau en position basse */
66 /* - 117 : déployer (rotation de +90°)/ranger (position haute et */
67 /* rotation de -90°) le bras */
68 /* */
69 /* Les caractères utilisés dans la partie ProTIS sont les suivants : */
70 /* De 0 à 50, de 60 à 100, 107, 110, 111, 115, 116, 117. */
71 /*******/
72
73 #include "Vision_Indus_IHM.h"
74
75
76 /* _____ Entrées et Sorties _____ */
77 // Flex
78 DigitalOut flex1_out(D4);
79 DigitalOut flex2_out(D5);
80 // Dome
81 DigitalOut dome_out(D11);
82 // Rasant
83 DigitalOut rasant_out(D12); // Commande pour l'éclairage rasant
84 // Effi-RGB
85 DigitalOut ringRGB_R_out(D6);
86 DigitalOut ringRGB_G_out(D7);
87 DigitalOut ringRGB_B_out(D8);
88 // Convoyeur
89 PwmOut conveyor_speed(D10); // Commande pour la vitesse du convoyeur
90 // (selon la période du signal carré)
91 DigitalOut conveyor_dir(D9); // Commande pour la direction : 1 sens horaire, 0 sens anti-horaire
92 DigitalOut conveyor_half(D13); // Mode de fonctionnement du moteur
93 DigitalOut conveyor_enable(D15); // Activation du moteur
94 DigitalOut conveyor_reset(D14); // Réinitialisation des paramètres
95 DigitalIn conveyor_fault(D2); // Entrée pour signaler une erreur
96 // (pas utilisé)
97
98 PwmOut servo_mot_rot(D0); // Commande pour le servomoteur de la rotation du bras
99 PwmOut servo_mot_HB(D1); // Commande pour le servomoteur de la translation verticale du bras
100
101 /* _____ Création des éléments constituant les interfaces _____ */
102 Label mode_pc(240,120,"Mode Ordinateur",Label::CENTER, Font24);
103 // All On-Off
104 Button light_on(265, 65, 80, 40, "ALL ON");
105 Button light_off(355, 65, 80, 40, "ALL OFF");
106 uint8_t all_on_active;
107 uint8_t all_off_active;

```

```

108 // EFFI-Ring
109 Label ringRGB(35, 50, "EFFI-Ring RGB", Label::LEFT);
110 Button ringRGB_R(35, 65, 50, 40, "RED");
111 Button ringRGB_G(95, 65, 50, 40, "GREEN");
112 Button ringRGB_B(155, 65, 50, 40, "BLUE");
113 uint8_t ringRGB_R_active;
114 uint8_t ringRGB_G_active;
115 uint8_t ringRGB_B_active;
116 // EFFI-Dome
117 Label dome(35, 115, "EFFI-Dome W", Label::LEFT);
118 Button dome_W(35, 130, 80, 40, "Dome");
119 uint8_t dome_active;
120
121 /* EFFI-rasant */
122 Label rasant(125, 115, "EFFI-Rllla R", Label::LEFT); // Texte au-dessus du bouton
123 Button rasant_R(125, 130, 80, 40, "Rasant"); // Bouton pour ouvrir le menu de contrôle du bras
124 uint8_t rasant_active; // Permet de savoir si l'éclairage rasant est allumé ou non : 1 si ON, 0 si OFF
125
126 // EFFI-Flex
127 Label flex1(35, 180, "EFFI-Flex W", Label::LEFT);
128 Button flex1_W(35, 195, 80, 40, "Flex1");
129 uint8_t flex1_active;
130 Button flex2_W(125, 195, 80, 40, "Flex2");
131 uint8_t flex2_active;
132
133 /* Convoyeur */
134 Label conveyor(265, 120, "Convoyeur / Vitesse", Label::LEFT); // Texte
135 NumericLabel<int> conv_speed_lab(405, 120, "V = ", Label::LEFT); // Affichage de la vitesse du convoyeur
136 SeekBar conv_speed(270, 165, 170, 0, 100, 0, "0", "", "100%"); // Curseur pour régler la vitesse
137 NumericLabel<int> x_slide(345,136,"V = ",Label::CENTER); // Affichage du pourcentage
138 Button conv_direction(355, 195, 80, 40, "Direction"); // Bouton "Direction"
139 Button conv_stop(265, 195, 80, 40, "On/Off"); // Bouton "On/Off" pour mettre en marche ou arrêter le convoyeur
140 uint8_t conv_stop_active; // Permet de savoir si le convoyeur est en marche ou non : 1 si actif, 0 si à l'arrêt
141
142 uint8_t conv_direction_active; // Permet de savoir dans quel sens est le convoyeur : 1 sens horaire, 0 sens anti-horaire
143
144 int vitesse; // Vitesse du convoyeur
145 int periode; // Période du signal PWM de commande
146
147 /* Interface du menu pour contrôler bras, éclairage rasant et convoyeur */
148 Label rasant_2(125, 50, "Rasant", Label::LEFT); // Texte "Rasant" au-dessus du bouton suivant
149 Button rasant_on(125, 65, 80, 40, "ON / OFF"); // Bouton pour allumer ou éteindre l'éclairage rasant
150 Label deplie(35, 50, "Déplier/Ranger", Label::LEFT); // Texte "Déplier/Ranger" au-dessus du bouton suivant
151 Button rasant_turn_B(35, 65, 80, 40); // Bouton pour déplier ou ranger le bras
152 Button haut(35, 130, 80, 40, "Haut"); // Bouton pour placer le bras au plus haut
153 Button bas(125, 130, 80, 40, "Bas"); // Bouton pour placer le bras au plus bas (posé sur le convoyeur)
154 Label position(35, 180, "Position du bras", Label::LEFT); // Texte au-dessus du curseur
155 NumericLabel<int> position_value(175, 180, "z = ", Label::LEFT); // Affichage de la position verticale
156 SeekBar bras_pos(35, 225, 170, 0, 100, 0, "0", "", "100%"); // Curseur pour changer la position verticale de l'éclairage
157 NumericLabel<int> z_slide(110,196,"z = ",Label::CENTER); // Affichage du pourcentage du curseur
158 Button close(425, 30, 20,20,"X"); // Bouton pour fermer le menu de contrôle du bras
159
160 int angle; // Angle du servomoteur responsable de la transition verticale
161 int hauteur; // Hauteur de l'éclairage rasant par rapport au convoyeur
162 int deplie; // Permet de savoir si le bras est déplié ou non : 1 si déplié, 0 si rangé
163 uint8_t turn_active; // 1 si rangé, 0 si déplié
164
165 // _____Initialisation de l'interface selon le mode choisi_____//
166
167 void initIHM(char mode){
168 // EFFI-Ring
169 ringRGB_R_active = 0;
170 ringRGB_R_out = 1;
171 ringRGB_G_active = 0;
172 ringRGB_G_out = 1;
173 ringRGB_B_active = 0;
174 ringRGB_B_out = 1;
175 // EFFI-Dome
176 dome_active = 0;
177 dome_out = 0;
178 // EFFI-Rllla
179 rasant_active = 0; // Initialisation : Eclairage rasant éteint
180 rasant_out = 0;

```

```

181 // EFFI-Flex
182 flex1_active = 0;
183 flex1_out = 1;
184 flex2_active = 0;
185 flex2_out = 1;
186 // Convoyeur
187 int8_t x = (int8_t)conv_speed.GetValue(); // Obtenir le pourcentage du curseur
188 vitesse = (0.0054/((2000-7*x)*1e-6)-0.0033)*10; // Calcul de la vitesse avec une loi expérimentale
189 conv_speed_lab.Draw("%3d mm/s", vitesse); // Affichage de la vitesse
190 x_slide.Draw("%3d %%",x); // Affichage du pourcentage
191 // Initialisation du moteur du convoyeur
192 conveyor_enable = 0; // Commandes à envoyer pour faire fonctionner le moteur
193 conveyor_reset = 1;
194 conveyor_half = 1;
195 conveyor_speed.period_us(1000); // Période du signal PWM initialisée à 1 ms
196 conveyor_dir = CONV_DIR_FW; // Sens horaire (forward)
197 conv_direction_active = 1; // Convoyeur dans le sens horaire
198 conveyor_speed.write(0); // Rapport cyclique nul donc commande nulle
199 conv_stop_active = 0; // Convoyeur à l'arrêt
200
201
202 // servo moteur contrôlant la rotation du bras
203 servo_mot_rot.period_ms(20); // Initialisation période
204
205 // servo moteur ajustant la hauteur de l'éclairage rasant
206 servo_mot_HB.period_ms(20); // Initialisation période
207
208 servo_mot_HB.pulsewidth_us(commande_HB(80)); // Position haute
209 wait(0.3f);
210 servo_mot_rot.pulsewidth_us(commande_rot(0)); // Rangement du bras
211
212 // Initialisation du mode "Ecran tactile"
213 if(mode == 113) {
214 BSP_LCD_Clear(0xFF003538);
215 ringRGB.Draw(0xFFFFFFFF);
216 dome.Draw(0xFFFFFFFF);
217 rasant.Draw(0xFFFFFFFF);
218 flex1.Draw(0xFFFFFFFF);
219 conveyor.Draw(0xFFFFFFFF);
220 SeekBar conv_speed(255+a, 165, 170, 0, 100, 0, "0", "", "100%");
221 all_on_active = 0;
222 light_off.Draw(0xFFFFFFFF, 0xFF000000);
223 light_on.Draw(COLOR_OFF, 0xFFFFFFFF);
224 ringRGB_R.Draw(COLOR_OFF);
225 ringRGB_G.Draw(COLOR_OFF);
226 ringRGB_B.Draw(COLOR_OFF);
227 dome_w.Draw(COLOR_OFF);
228 rasant_R.Draw(COLOR_OFF);
229 flex1_w.Draw(COLOR_OFF);
230 flex2_w.Draw(COLOR_OFF);
231 conv_direction.Draw(0xFF333333,0xFF555555);
232 conv_stop.Draw(COLOR_OFF);
233 }
234
235 // Initialisation du mode "Ordinateur"
236 if(mode == 112){ // Réinitialisation de l'écran et affichage du texte "Mode Ordinateur"
237 BSP_LCD_Clear(0xFF003538);
238 mode_pc.Draw(0xFFFFFFFF);
239 turn_active = 1;
240 periode = 2000;
241 }
242 }
243
244 //___Mise à jour de l'interface de l'écran et actions sur les éclairages___//
245 void updateIHM(void){
246 if (light_on.Touched()) { // Press the 'ALL ON' button
247 all_on_active = 1;
248 if(all_on_active == 1) { // Switch on all the sources
249 light_off.Draw(COLOR_OFF, 0xFFFFFFFF);
250 light_on.Draw(0xFFFFFFFF, 0xFF000000);
251
252 ringRGB_R_active = 1;
253 ringRGB_R_out = 0;
254 ringRGB_R.Draw(0xFFFF0000);
255 ringRGB_G_active = 1;
256 ringRGB_G_out = 0;
257 ringRGB_G.Draw(0xFF33DD33, 0xFF000000);
258 ringRGB_B_active = 1;
259 ringRGB_B_out = 0;
260 ringRGB_B.Draw(0xFF0000FF);
261
262 dome_active = 1;
263 dome_out = 1;
264 dome_w.Draw(0xFFFFFFFF, 0xFF000000);
265
266 rasant_active = 1;
267 rasant_out = 1;
268 rasant_R.Draw(0xFFFF0000);
269
270 flex1_active = 1;
271 flex1_out = 0;

```

```

272 flex1_W.Draw(0xFFEEEEEE, 0xFF000000);
273 flex2_active = 1;
274 flex2_out = 0;
275 flex2_W.Draw(0xFFEEEEEE, 0xFF000000);
276 all_on_active = 0;
277
278 wait(0.2f);
279 }
280 }
281 else {
282 if (light_off.Touched()) { // Press the 'ALL OFF' button
283 all_off_active = 1;
284 if(all_off_active == 1) { // Switch off all the sources
285 light_on.Draw(COLOR_OFF, 0xFFFFFFFF);
286 light_off.Draw(0xFFFFFFFF, 0xFF000000);
287
288 ringRGB_R_active = 0;
289 ringRGB_R_out = 1;
290 ringRGB_R.Draw(COLOR_OFF);
291 ringRGB_G_active = 0;
292 ringRGB_G_out = 1;
293 ringRGB_G.Draw(COLOR_OFF, 0xFFFFFFFF);
294 ringRGB_B_active = 0;
295 ringRGB_B_out = 1;
296 ringRGB_B.Draw(COLOR_OFF);
297
298 dome_active = 0;
299 dome_out = 0;
300 dome_W.Draw(COLOR_OFF, 0xFFFFFFFF);
301
302 rasant_active = 0;
303 rasant_out = 0;
304 rasant_R.Draw(COLOR_OFF);
305
306 flex1_active = 0;
307 flex1_out = 1;
308 flex1_W.Draw(COLOR_OFF, 0xFFFFFFFF);
309 flex2_active = 0;
310 flex2_out = 1;
311 flex2_W.Draw(COLOR_OFF, 0xFFFFFFFF);
312
313 all_off_active = 0;
314 }
315 wait(0.2f);
316 }
317
318 if (ringRGB_R.Touched()) { // Press the 'RED' button
319 if(ringRGB_R_active) {
320 light_on.Draw(COLOR_OFF, 0xFFFFFFFF);
321 ringRGB_R_active = 0;
322 ringRGB_R_out = 1;
323 all_on_active = 0;
324 ringRGB_R.Draw(COLOR_OFF);
325 } else {
326 light_off.Draw(COLOR_OFF, 0xFFFFFFFF);
327 ringRGB_R_active = 1;
328 ringRGB_R_out = 0;
329 ringRGB_R.Draw(0xFFFF0000);
330 }
331 wait(0.2f);
332 }
333
334 if (ringRGB_G.Touched()) { // Press the 'GREEN' button
335 if(ringRGB_G_active) {
336 light_on.Draw(COLOR_OFF, 0xFFFFFFFF);
337 ringRGB_G_active = 0;
338 ringRGB_G_out = 1;
339 all_on_active = 0;
340 ringRGB_G.Draw(COLOR_OFF, 0xFFFFFFFF);
341 } else {
342 light_off.Draw(COLOR_OFF, 0xFFFFFFFF);
343 ringRGB_G_active = 1;
344 ringRGB_G_out = 0;
345 ringRGB_G.Draw(0xFF33DD33, 0xFF000000);
346 }
347 wait(0.2f);
348 }
349 if (ringRGB_B.Touched()) { // Press the 'BLUE' button
350 if(ringRGB_B_active) {
351 light_on.Draw(COLOR_OFF, 0xFFFFFFFF);
352 ringRGB_B_active = 0;
353 ringRGB_B_out = 1;
354 all_on_active = 0;
355 ringRGB_B.Draw(COLOR_OFF);
356 } else {
357 light_off.Draw(COLOR_OFF, 0xFFFFFFFF);
358 ringRGB_B_active = 1;
359 ringRGB_B_out = 0;
360 ringRGB_B.Draw(0xFF0000FF);
361 }
362 wait(0.2f);

```

```

363     }
364     if (dome_W.Touched()) {           // Press the 'Dome' button
365         if(dome_active) {
366             light_on.Draw(COLOR_OFF, 0xFFFFFFFF);
367             dome_active = 0;
368             dome_out = 0;
369             all_on_active = 0;
370             dome_W.Draw(COLOR_OFF, 0xFFFFFFFF);
371         } else {
372             light_off.Draw(COLOR_OFF, 0xFFFFFFFF);
373             dome_active = 1;
374             dome_out = 1;
375             dome_W.Draw(0xFFFFFFFF, 0xFF000000);
376         }
377         wait(0.2f);
378     }
379 }
380 /* _____ Début de la partie menu "Eclairage rasant" _____ */
381 if (rasant_R.Touched()) {           // Si appui sur le bouton "Rasant"
382 // Initialisation de l'interface permettant le contrôle du bras
383     rasant_R.Draw(0xFFFF0000);      // Bouton en rouge
384     wait(0.1f);                     // Attendre 0,1s
385     BSP_LCD_Clear(0xFF003538);      // Réinitialisation de l'écran
386 // _____ Affichage des éléments du menu _____ //
387     BSP_LCD_DrawRect(15,15,450,240); // Grand rectangle
388     conveyor.Draw(0xFFFFFFFF);      // Affichage du texte et du curseur vitesse
389     SeekBar conv_speed(270, 165, 170, 0, 100, 0, "0", "", "100%");
390     all_on_active = 0;              // Les éclairages ne sont pas tous allumés
391     conv_direction.Draw(0xFF333333,0xFF555555); // Fond gris foncé, texte gris clair
392     conv_stop.Draw(COLOR_OFF);      // Gris foncé
393     SeekBar bras_pos(35, 225, 170, 0, 100, 0, "0", "", "100%"); // Affichage du curseur position
394     rasant_2.Draw(0xFFFFFFFF);      // texte blanc
395     close.Draw(0xFFFF0000);         // Fond rouge
396     rasant_on.Draw(0xFF333333,0xFF777777); // Fond gris foncé, texte gris clair
397     rasant_turn_B.Draw(COLOR_OFF);  // Gris foncé
398     position.Draw(0xFFFFFFFF);      // Texte blanc
399     haut.Draw(0xFF333333,0xFF777777); // Fond gris foncé, texte gris clair
400     bas.Draw(0xFF333333,0xFF777777); // Fond gris foncé, texte gris clair
401     rasant_active = 1;
402     turn_active = 1;                // Bras rangé
403     deplie.Draw(0xFFFFFFFF);
404     servo_mot_HB.pulsewidth_us(commande_HB(80)); // Eclairage placé en haut
405     wait(0.2f);
406     servo_mot_rot.pulsewidth_us(commande_rot(0)); // Bras rangé
407     while(1){
408         if(rasant_turn_B.Touched()) { // Si appui sur bouton "Déplier/Ranger"
409             if(turn_active) {        // Et si le bras est rangé alors dépliement du bras
410                 turn_active = 0;     // Changement de valeur pour ranger le bras au prochain appui
411                 deplier = 1;         // Le bras est déplié, permet d'accéder aux autres actions
412                 rasant_turn_B.Draw(0xFFFFFFFF); // Changements des couleurs pour montrer que les boutons
413                 wait(0.2f);          // ne sont pas utilisables
414                 rasant_turn_B.Draw(0xFF0e89b4);
415                 haut.Draw(COLOR_OFF, 0xFFFFFFFF);
416                 bas.Draw(COLOR_OFF, 0xFFFFFFFF);
417                 rasant_on.Draw(COLOR_OFF, 0xFFFFFFFF);
418                 servo_mot_rot.pulsewidth_us(commande_rot(90)); // dépliement du bras
419             } else {                 // Sinon rangement du bras
420                 turn_active = 1;     // Changement de valeur pour déplier le bras au prochain appui
421                 deplier = 0;        // Le bras est rangé, empêche l'accès aux autres actions
422                 rasant_turn_B.Draw(0xFFFFFFFF); // Changements des couleur pour montrer que les boutons
423                 wait(0.2f);          // sont utilisables
424                 rasant_turn_B.Draw(COLOR_OFF);
425                 haut.Draw(0xFF333333,0xFF777777);
426                 bas.Draw(0xFF333333,0xFF777777);
427                 rasant_on.Draw(0xFF333333,0xFF777777);
428                 rasant_active = 0;  // Eclairage éteint
429                 rasant_out = 0;
430                 servo_mot_HB.pulsewidth_us(commande_HB(80)); // Retour en position haute
431                 wait(0.3f);
432                 servo_mot_rot.pulsewidth_us(commande_rot(0)); // Rotation pour ranger le bras
433             }
434             wait(0.2f);
435         }
436         if(deplier == 1 && rasant_on.Touched()) { // Si bras déplié et appui sur bouton "ON / OFF"
437             if(rasant_active) {        // Et si l'éclairage rasant est allumé
438                 rasant_active = 0;    // Changement de valeur pour allumer au prochain appui
439                 rasant_out = 0;       // Eteindre
440                 rasant_on.Draw(COLOR_OFF);
441                 wait(0.2f);           // Attendre 0,2s
442             } else {                   // Sinon
443                 rasant_active = 1;    // Changement de valeur pour éteindre au prochain appui
444                 rasant_out = 1;       // Allumer
445                 rasant_on.Draw(0xFFFF0000); // Bouton en rouge
446                 wait(0.2f);           // Attendre 0,2s
447             }
448         }
449     }
450     if(deplier == 1 && haut.Touched()){ // Si bras déplié et appui sur bouton "Haut"
451         haut.Draw(0xFFFFFFFF, 0xFF000000); // Fond blanc, texte noir
452         bas.Draw(COLOR_OFF, 0xFFFFFFFF); // Fond gris foncé, texte blanc
453         servo_mot_HB.pulsewidth_us(commande_HB(80)); // 80° pour placer l'éclairage en position haute

```

```

454     wait(0.2f);
455 }
456 if(deplier == 1 && bas.Touched()){           // Si bras déplié et appui sur bouton "Bas"
457     bas.Draw(0xFFFFFFFF, 0xFF000000);       // Fond blanc, texte noir
458     haut.Draw(COLOR_OFF, 0xFFFFFFFF);       // Fond gris foncé, texte blanc
459     servo_mot_HB.pulsewidth_us(commande_HB(0)); // 0° pour placer l'éclairage en position basse
460     wait(0.2f);
461 }
462 if (deplier == 1 && bras_pos.Slide()) {      // Si bras déplié et déplacement du curseur position
463     haut.Draw(COLOR_OFF, 0xFFFFFFFF);       // Fond gris foncé, texte blanc
464     bas.Draw(COLOR_OFF, 0xFFFFFFFF);       // Fond gris foncé, texte blanc
465     int8_t z = (int8_t)bras_pos.GetValue();  // Pourcentage du curseur
466     angle = (int) 80*z/100;                 // Calcul de l'angle que doit avoir le sercomoteur
467     hauteur = (int) angle/2.85;             // Calcul de la hauteur de l'éclairage
468     position_value.Draw("%3d mm", hauteur); // Affichage de la hauteur
469     z_slide.Draw("%3d %%", z);              // Affichage du pourcentage
470     servo_mot_HB.pulsewidth_us(commande_HB(angle)); // Translation verticale de l'éclairage selon l'angle
471 }
472 // Possibilité de contrôler le convoyeur
473 if (conv_speed.Slide()) {                   // Si déplacement du curseur vitesse convoyeur
474     int8_t x = (int8_t)conv_speed.GetValue(); // Pourcentage du curseur
475     vitesse = 0.0024*x*x+0.0107*x+27.355;    // Calcul de la vitesse
476     conv_speed_lab.Draw("%3d mm/s", vitesse); // Affichage de la vitesse
477     x_slide.Draw("%3d %%", x);              // Affichage du pourcentage
478     if(convveyor_enable == 1) {            // Si le convoyeur est en marche
479         if(conv_direction_active == 0)     // Et si sens anti-horaire
480             moveConveyor(CONV_DIR_RV, floor(2093.8-10.475*x)); // Changement de vitesse
481         else
482             moveConveyor(CONV_DIR_FW, floor(2093.8-10.475*x)); // Changement de vitesse
483     }
484 }
485 if(conv_stop_active == 1) {                 // Si le convoyeur est en marche
486     if (conv_direction.Touched()) {        // et si appui sur le bouton "Direction"
487         conv_direction.Draw(0xFFffca4f,0xFF000000); // Fond orange, texte noir
488         stopConveyor();                    // Arrêt du convoyeur pendant 0,2s
489         wait(0.2f);
490         if(conv_direction_active==1) {      // Si sens horaire
491             conv_direction_active = 0;      // Changement de valeur pour changer de sens au prochain appui
492             int8_t x = (int8_t)conv_speed.GetValue(); // Pourcentage du curseur
493             moveConveyor(CONV_DIR_RV, floor(2093.8-10.475*x)); // Changement de sens, même vitesse
494         } else {                            // Sinon
495             conv_direction_active = 1;      // Changement de valeur pour changer de sens au prochain appui
496             int8_t x = (int8_t)conv_speed.GetValue(); // Pourcentage du curseur
497             moveConveyor(CONV_DIR_FW, floor(2093.8-10.475*x)); // Changement de sens, même vitesse
498         }
499     } else
500         conv_direction.Draw(0xFFFFB200,0xFF000000); // Fond orange, texte noir
501 }
502 if (conv_stop.Touched()) {                 // Si appui sur le bouton "on/off"
503     if(conv_stop_active==1) {              // Et si le convoyeur est en marche
504         conv_stop_active = 0;              // Changement de valeur pour mettre en marche au prochain appui
505         stopConveyor();                    // Arrêt du convoyeur
506         conv_stop.Draw(COLOR_OFF, 0xFFFFFFFF); // Fond gris foncé, texte blanc
507         conv_direction.Draw(0xFF333333,0xFF777777); // Fond gris foncé, texte gris
508     } else {                               // Sinon
509         conv_stop_active = 1;              // Changement de valeur pour arrêter au prochain appui
510         if(conv_direction_active==1) {     // Si sens horaire
511             int8_t x = (int8_t)conv_speed.GetValue();
512             moveConveyor(CONV_DIR_FW, floor(2093.8-10.475*x)); // Même sens et vitesse correspondant au % du curseur
513         } else {
514             int8_t x = (int8_t)conv_speed.GetValue();
515             moveConveyor(CONV_DIR_RV, floor(2093.8-10.475*x)); // Même sens et vitesse correspondant au % du curseur
516         }
517         conv_stop.Draw(0xFFFFFFFF, 0xFF000000); // Fond blanc, texte noir
518         conv_direction.Draw(0xFFFFB200,0xFF000000); // Fond orange, texte noir
519     }
520     wait(0.2f);
521 }
522 if(close.Touched()){                       // Si appui sur le bouton "X"
523     deplier = 0;                            // Bras rangé
524     rasant_active = 0;                      // Eclairage éteint
525     rasant_out = 0;
526     servo_mot_HB.pulsewidth_us(commande_HB(80)); // Eclairage en position haute
527     wait(0.3f);
528     servo_mot_rot.pulsewidth_us(commande_rot(0)); // Repliement du bras
529     initIHM(113);                          // Retour au menu général de contrôle des éclairages
530     break;                                  // et du convoyeur
531 }
532 }
533 }
534 /* _____ Fin de la partie menu "Eclairage rasant" _____ */
535
536 if (flex1_w.Touched()) {                   // Press the 'Flex1' button
537     if(flex1_active) {
538         light_on.Draw(COLOR_OFF, 0xFFFFFFFF);
539         flex1_active = 0;
540         flex1_out = 1;
541         all_on_active = 0;
542         flex1_w.Draw(COLOR_OFF, 0xFFFFFFFF);
543     } else {
544         light_off.Draw(COLOR_OFF, 0xFFFFFFFF);

```

```

545     flex1_active = 1;
546     flex1_out = 0;
547     flex1_W.Draw(0xFFEEEEEE, 0xFF000000);
548 }
549 wait(0.2f);
550 }
551
552 if (flex2_W.Touched()) { // Press the 'Flex2' button
553     if(flex2_active) {
554         light_on.Draw(COLOR_OFF, 0xFFFFFFFF);
555         flex2_active = 0;
556         flex2_out = 1;
557         all_on_active = 0;
558         flex2_W.Draw(COLOR_OFF, 0xFFFFFFFF);
559     } else {
560         light_off.Draw(COLOR_OFF, 0xFFFFFFFF);
561         flex2_active = 1;
562         flex2_out = 0;
563         flex2_W.Draw(0xFFEEEEEE, 0xFF000000);
564     }
565     wait(0.2f);
566 }
567
568 if (conv_speed.Slide()) { // Move the cursor of the seekbar
569     int8_t x = (int8_t)conv_speed.GetValue();
570     vitesse = 0.0024*x+0.0107*x+27.355; // Computation of the speed from the position of the cursor
571     conv_speed_lab.Draw("%3d mm/s", vitesse);
572     x_slide.Draw("%3d %%",x);
573     if(conveyor_enable == 1) {
574         if(conv_direction_active == 0)
575             moveConveyor(CONV_DIR_RV,floor(2093.8-10.475*x));
576         else
577             moveConveyor(CONV_DIR_FW,floor(2093.8-10.475*x));
578     }
579 }
580
581 if(conv_stop_active == 1) { // Enables to click the 'Direction' button only if the conveyor is on
582     if (conv_direction.Touched()) { // Press the 'Direction' button
583         conv_direction.Draw(0xFFffca4f,0xFF000000);
584         stopConveyor();
585         wait(0.2f);
586         if(conv_direction_active==1) { // Depends on the previous direction
587             conv_direction_active = 0;
588             int8_t x = (int8_t)conv_speed.GetValue();
589             moveConveyor(CONV_DIR_RV,floor(2093.8-10.475*x));
590         } else {
591             conv_direction_active = 1;
592             int8_t x = (int8_t)conv_speed.GetValue();
593             moveConveyor(CONV_DIR_FW,floor(2093.8-10.475*x));
594         }
595     } else
596         conv_direction.Draw(0xFFFFB200,0xFF000000);
597 }
598
599 if (conv_stop.Touched()) { // Press the 'On/Off' button
600     if(conv_stop_active==1) {
601         conv_stop_active = 0;
602         stopConveyor();
603         conv_stop.Draw(COLOR_OFF, 0xFFFFFFFF);
604         conv_direction.Draw(0xFF333333,0xFF777777);
605     } else {
606         conv_stop_active = 1;
607         if(conv_direction_active==1) { // Depends on the previous direction
608             int8_t x = (int8_t)conv_speed.GetValue();
609             moveConveyor(CONV_DIR_FW,floor(2093.8-10.475*x));
610         } else {
611             int8_t x = (int8_t)conv_speed.GetValue();
612             moveConveyor(CONV_DIR_RV,floor(2093.8-10.475*x));
613         }
614         conv_stop.Draw(0xFFFFFFFF, 0xFF000000);
615         conv_direction.Draw(0xFFFFB200,0xFF000000);
616     }
617     wait(0.2f);
618 }
619 }
620
621 //_____Effectuer une action selon la donnée reçue par la carte_____//
622
623 void computer(char data_received)
624 {
625     // Données permettant de changer la vitesse du convoyeur
626     if(data_received<=50) { // Si la donnée reçue est entre 0 et 50
627         periode = floor(2093.8-data_received*10.475); // La convertir en la période à donner au signal PWM pour changer la vitesse
628         if(conveyor_enable == 1) { // Si convoyeur actif
629             if(conv_direction_active == 0) // Et selon le sens de rotation du convoyeur
630                 moveConveyor(CONV_DIR_RV,periode); // Affecter la période au signal PWM
631             else
632                 moveConveyor(CONV_DIR_FW,periode); // Idem dans l'autre sens
633         }
634     }
635     // Données permettant de changer la hauteur de l'éclairage rasant

```

```

636 if(data_received>=60 && data_received<=100){ // Si la donnée reçue est entre 60 et 100
637     angle = 2*(data_received-60); // Calcul de l'angle à fournir au servomoteur responsable de la translation
638     servo_mot_HB.pulsewidth_us(commande_HB(angle)); // Placer l'éclairage à la hauteur correspondant à l'angle calculé
639 }
640 // Utilisation d'un switch pour lister les actions à réaliser selon le caractère reçu (codé en ASCII)
641 switch(data_received) {
642     case 101: // All the lights on
643         all_on_active = 1;
644         if(all_on_active == 1) {
645             ringRGB_R_active = 1;
646             ringRGB_R_out = 0;
647             ringRGB_G_active = 1;
648             ringRGB_G_out = 0;
649             ringRGB_B_active = 1;
650             ringRGB_B_out = 0;
651
652             dome_active = 1;
653             dome_out = 1;
654
655             rasant_active = 1;
656             rasant_out = 1;
657
658             flex1_active = 1;
659             flex1_out = 0;
660             flex2_active = 1;
661             flex2_out = 0;
662             all_on_active = 0;
663         }
664         break;
665
666     case 102: // Switch off all the sources
667         all_off_active = 1;
668         if(all_off_active == 1) {
669
670             ringRGB_R_active = 0;
671             ringRGB_R_out = 1;
672             ringRGB_G_active = 0;
673             ringRGB_G_out = 1;
674             ringRGB_B_active = 0;
675             ringRGB_B_out = 1;
676
677             dome_active = 0;
678             dome_out = 0;
679
680             rasant_active = 0;
681             rasant_out = 0;
682
683             flex1_active = 0;
684             flex1_out = 1;
685             flex2_active = 0;
686             flex2_out = 1;
687
688             all_off_active = 1;
689         }
690         break;
691
692     case 103: // Red light of the ring on
693         if(ringRGB_R_active) {
694             ringRGB_R_active = 0;
695             ringRGB_R_out = 1;
696             all_on_active = 0;
697         } else {
698             ringRGB_R_active = 1;
699             ringRGB_R_out = 0;
700         }
701         break;
702
703     case 104: // Green light of the ring on
704         if(ringRGB_G_active) {
705             ringRGB_G_active = 0;
706             ringRGB_G_out = 1;
707             all_on_active = 0;
708         } else {
709             ringRGB_G_active = 1;
710             ringRGB_G_out = 0;
711         }
712         break;
713
714     case 105: // Blue light of the ring on
715         if(ringRGB_B_active) {
716             ringRGB_B_active = 0;
717             ringRGB_B_out = 1;
718             all_on_active = 0;
719         } else {
720             ringRGB_B_active = 1;
721             ringRGB_B_out = 0;
722         }
723         break;
724
725     case 106: // Dome light on
726         if(dome_active) {

```

```

727     dome_active = 0;
728     dome_out = 0;
729     all_on_active = 0;
730 } else {
731     dome_active = 1;
732     dome_out = 1;
733 }
734 break;
735
736 case 107: // Allumer/Eteindre l'éclairage rasant selon l'état précédent
737     if(rasant_active) { // Si allumé
738         rasant_active = 0; // Changement de valeur pour allumer au prochain appui
739         rasant_out = 0; // Eteindre
740         all_on_active = 0; // Tous les éclairages ne sont pas allumés
741     } else { // Si éteint
742         rasant_active = 1; // Changement de valeur pour éteindre au prochain appui
743         rasant_out = 1; // Allumer
744     }
745     break;
746
747 case 115: // Placer le bras en position haute
748     servo_mot_HB.pulsewidth_us(commande_HB(80)); // Correspond à un angle de 80°
749     break;
750
751 case 116: // Placer le bras en position basse
752     servo_mot_HB.pulsewidth_us(commande_HB(0)); // Correspond à un angle de 0°
753     break;
754
755 case 117: // Déplier/Ranger le bras selon l'état précédent
756     if(turn_active) { // Si bras rangé
757         turn_active = 0; // Changement de valeur pour ranger le bras au prochain envoi de 117
758         servo_mot_rot.pulsewidth_us(commande_rot(90)); // Déploiement du bras (rotation de 90°)
759     }
760     else { // Sinon (bras déployé)
761         turn_active = 1; // Changement de valeur pour déployer le bras au prochain envoi de 117
762         rasant_active = 0; // Eteindre l'éclairage
763         rasant_out = 0;
764         servo_mot_HB.pulsewidth_us(commande_HB(80)); // Replacer le bras en position haute
765         wait(0.3f);
766         servo_mot_rot.pulsewidth_us(commande_rot(0)); // Puis tourner de -90° pour ranger le bras
767     }
768     wait(0.2f);
769     break;
770
771 case 108: // Flex1 on/off
772     if(flex1_active) {
773         flex1_active = 0;
774         flex1_out = 1;
775         all_on_active = 0;
776     } else {
777         flex1_active = 1;
778         flex1_out = 0;
779     }
780     break;
781
782 case 109: // Flex2 on/off
783     if(flex2_active) {
784         flex2_active = 0;
785         flex2_out = 1;
786         all_on_active = 0;
787     } else {
788         flex2_active = 1;
789         flex2_out = 0;
790     }
791     break;
792
793
794 case 110: // Changer de direction
795     if(conv_stop_active == 1) { // Si le convoyeur est en marche
796         if(conv_direction_active==1) { // Et s'il est dans le sens horaire
797             conv_direction_active = 0; // Changement de valeur pour changer de sens au prochain appui
798             conveyer_dir = CONV_DIR_RV; // Changement de sens (RV = Reverse)
799         } else { // Sinon (sens anti-horaire)
800             conv_direction_active = 1; // Changement de valeur pour changer de sens au prochain appui
801             conveyer_dir = CONV_DIR_FW; // Changement de sens (FW = Forward)
802         }
803     }
804     break;
805
806 case 111: // Arrêter/Démarrer le convoyeur selon l'état précédent
807     if(conv_stop_active==1) { // Si convoyeur en marche
808         conv_stop_active = 0; // Changement d'état pour le mettre en marche au prochain envoi de 111
809         stopConveyor(); // Arrêter le convoyeur
810     }
811     else { // Sinon (convoyeur à l'arrêt)
812         conv_stop_active = 1; // Changement d'état pour l'arrêter au prochain envoi de 111
813         if(conv_direction_active==1) // Dépend du sens de rotation du convoyeur
814             moveConveyor(CONV_DIR_FW,periode); // Réutiliser la vitesse avant arrêt
815         else
816             moveConveyor(CONV_DIR_RV,periode);
817     }

```

```
818         break;
819     default:
820         0;
821     }
822 }
823
824 // _____ Choisir le sens de rotation et la vitesse du convoyeur _____ //
825
826 void moveConveyor(char dir, int speed_us) // Change la vitesse et le sens de rotation
827 {
828     conveyor_enable = 1; // Activer le convoyeur
829     conveyor_speed.period_us(speed_us); // Changer la période du signal PWM pour changer la vitesse
830     conveyor_dir = dir; // Changer le sens de rotation (direction)
831     conveyor_speed.write(0.5); // Rapport cyclique de 0.5 (arbitraire)
832 }
833
834 // _____ Arrêter le convoyeur _____ //
835
836 void stopConveyor(void) // Arrête le convoyeur
837 {
838     conveyor_enable = 0; // Désactiver le convoyeur
839     conveyor_speed.write(0); // Rapport cyclique nul (signal de commande nul)
840 }
841
842 // _____ Contrôle des servomoteur du bras _____ //
843 // Calculer la durée du front montant du signal PWM qui commande le servomoteur responsable de la rotation
844 int commande_rot(int angle){ // Faire tourner le bras de l'angle souhaité
845     return floor(8.9*angle+700); // Loi Angle/Front montant déterminée expérimentalement
846 }
847
848 // Calculer la durée du front montant du signal PWM qui commande le servomoteur responsable de la translation verticale
849 int commande_HB(int angle){ // Translation verticale associée à un angle entre 0° (bas) et 80° (haut)
850     return floor(-10.0*angle+2400); // Loi Angle/Front montant déterminée expérimentalement
851 }
```

Annexe 3 : Code interface sur l'ordinateur

```

# AutoDarkRingTab.py

001|
002| """
003| Vision Industrielle
004|
-----
005| Par l'équipe PIMS (Samuel Gerente, Hugo Lassiette, Flora Silberzan, Martin
Collignon, Oscar Boucher, Victoire de Saléon
006| et par l'équipe ProTIS (Tong Zhu, Albane Lapras, Martin Collignon, Victoire de
Saléon)
007|
-----
008| La classe AutoDarkRingTab est appelée dans le main.py à la ligne 208 (dans la
classe MainWindow) par :
009|     @QtCore.pyqtSlot()
010|     def add_auto_dark_ring(self):
011|         self.main_tab_widget.addTab(AutoDarkRingTab(self.video_thread,
self.ser), STR_AUTO_DARK_RING)
012| cette fonction permet de rajouter un menu dans la fenêtre principale
013|
-----
014| ce menu permet de :
015|     - visualiser l'aquisition vidéo si la caméra est allumée (les images de la
vidéo sont dans self.shown_cv_img)
016|     - effectuer des traitements simple de l'image (ouverture fermeture flou
gaussien, pour une binarisation optimale)
017|     - définir les paramètres de détection de contours des objets (aire minimale
et maximale des objets d'interêts)
018|     - enregistrer une image de l'aquisition manuellement (soit dans le clipboard
soit dans un dossier)
019| ET SURTOUT de :
020|     - détecter les contours des objets
021|     - déterminer leur centre et sa distance avec le centre de l'anneau
022|     - si l'objet est au centre de l'anneau, baisser l'anneau et prendre une
photo enregistrée automatiquement dans un dossier, puis relever l'anneau
023|
024|
-----
025|
026| import numpy as np
027|
028| #permet de créer des interfaces en python :
029| from PyQt5 import QtWidgets as Qtw
030| from PyQt5 import QtCore as Qtc
031|
032| #fonctions de bases du traitement de l'image et de manipulation d'images :
033| import cv2
034|
035| #fonctions programmées pendant les semaines PIMS
036| from Utils import convert_cv_to_qpixmap, Timer, h_line, is_gray
037| from PreProcessingFunction import func_contours_list, gray_to_binary
038| from FormDetectionFunction import is_outside
039|
040| #dictionnaire de chaines de caractères fait pendant les semaines PIMS
041| from Dictionary_EN import *
042|
043|
044| class AutoDarkRingTab(Qtw.QMainWindow):
045|     def __init__(self, video_thread, ser):
046|         super().__init__()
047|         self.nb=0 # numérotation des photos
048|         self.ser = ser # pour la conection usb
049|
050|         self.raw_cv_img = None
051|         self.shown_cv_img = None

```

```
052|         self.calculating = False # Bouton de calcul en mode off
053|
054|         self.get_video_thread = video_thread
055|
056| self.get_video_thread.new_cv_img_signal.connect(self.update_video_qlabel)
057|         self.get_video_thread.stopped_signal.connect(self.video_stopped)
058|
059|         self.video_qlabel = Qtw.QLabel()
060|         self.setCentralWidget(self.video_qlabel)
061|
062|         self.setting_dock = Qtw.QDockWidget('Setting', self)
063|         setting_widget = Qtw.QWidget()
064|
065|         self.calculate_btn = Qtw.QPushButton(STR_START_CALCULATION)
066|         self.calculate_btn.clicked.connect(self.start_calculation)
067|         self.calculate_btn.setEnabled(False)
068|
069|         self.fps_qlabel = Qtw.QLabel()
070|
071|         """Pre-processing Buttons"""
072|
073|         self.show_binary_checkbox = Qtw.QCheckBox(STR_SHOW_BINARY_IMAGE)
074|         self.show_binary_checkbox.setChecked(False)
075|
076|         self.opening_checkbox = Qtw.QCheckBox(STR_OPENING)
077|         self.opening_checkbox.setChecked(False)
078|
079|         self.closing_checkbox = Qtw.QCheckBox(STR_CLOSING)
080|         self.closing_checkbox.setChecked(False)
081|
082|         self.blur_checkbox = Qtw.QCheckBox(STR_GAUSSIAN_BLURRING)
083|         self.blur_checkbox.setChecked(False)
084|
085|         self.threshold_spinbox = Qtw.QSpinBox()
086|         self.threshold_spinbox.setRange(-1, 255) # -1 value is for auto
087|         self.threshold_spinbox.setValue(80) #valeur du seuil fixée à 80
088|
089|         self.min_area_spinbox = Qtw.QSpinBox()
090|         self.min_area_spinbox.setRange(0, 1000000000)
091|         self.min_area_spinbox.setSingleStep(50)
092|         self.min_area_spinbox.setValue(1000)
093|
094|         self.max_area_spinbox = Qtw.QSpinBox()
095|         self.max_area_spinbox.setRange(0, 1000000000)
096|         self.max_area_spinbox.setSingleStep(50)
097|         self.max_area_spinbox.setValue(90000)
098|
099|         """Screenshot Buttons"""
100|
101|         self.screenshot_btn = Qtw.QPushButton(STR_TAKE_SCREENSHOT)
102|         self.screenshot_btn.clicked.connect(self.save_screenshot)
103|         self.screenshot_btn.setEnabled(False)
104|
105|         self.clipboard_btn = Qtw.QPushButton(STR_COPY_TO_CLIPBOARD)
106|         self.clipboard_btn.clicked.connect(self.clipboard_screenshot)
107|         self.clipboard_btn.setEnabled(False)
108|
109|         """Layout"""
110|         #on ajoute tous les éléments au layout
111|
112|         setting_form_layout = Qtw.QFormLayout()
113|         setting_form_layout.addRow(self.calculate_btn) # ajout du bouton pour le
calcul de la position des objets
114|         setting_form_layout.addRow(h_line()) # petite ligne horizontale pour que
ca soit joli
115|         setting_form_layout.addRow(Qtw.QLabel(STR_FPS), self.fps_qlabel) #chaîne
de caractères pour indiquer le nombre d'images par secondes
```

```

114|         setting_form_layout.addRow(h_line()) # petite ligne horizontale pour que
ca soit joli
115|         setting_form_layout.addRow(self.show_binary_checkbox) # petite checkbox
pour montrer l'image binaire
116|         setting_form_layout.addRow(self.opening_checkbox) # petite checkbox pour
effectuer une ouverture
117|         setting_form_layout.addRow(self.closing_checkbox) # petite checkbox pour
effectuer une fermeture
118|         setting_form_layout.addRow(self.blur_checkbox) # petite checkbox pour
effectuer une fermeture
119|         setting_form_layout.addRow(STR_THRESHOLD, self.threshold_spinbox) #
petite spinbox pour choisir la valeur du seuil pour le seuillage
120|         setting_form_layout.addRow(STR_MIN_SURFACE, self.min_area_spinbox) #
petite spinbox pour choisir la taille minimale d'un objet
121|         setting_form_layout.addRow(STR_MIN_SURFACE, self.max_area_spinbox)
122|         setting_form_layout.addRow(h_line())
123|         setting_form_layout.addRow(self.screenshot_btn, self.clipboard_btn)
124|
125|         setting_widget.setLayout(setting_form_layout)
126|
127|         self.setting_dock.setWidget(setting_widget)
128|         self.addDockWidget(Qtc.Qt.LeftDockWidgetArea, self.setting_dock)
129|         self.timer = Timer()
130|         self.timer.start()
131|
132|     def video_stopped(self):
133|         self.video_qlabel.setText(STR_PLS_LAUNCH_ACQUISITION)
134|         self.shown_cv_img = None
135|         self.fps_qlabel.setText('')
136|         self.calculating = False
137|         self.calculate_btn.setEnabled(False)
138|         self.calculate_btn.setText(STR_START_CALCULATION)
139|         self.screenshot_btn.setEnabled(False)
140|         self.clipboard_btn.setEnabled(False)
141|
142|     @Qtc.pyqtSlot()
143|     def save_screenshot(self): # permet d'ouvrir une fenêtre pour enregistrer le
screenshot
144|         filename = Qtw.QFileDialog.getSaveFileName(self, STR_SAVE_IMAGE, '',
STR_IMAGE_FORMAT)
145|         print(filename[0])
146|         if filename[0] != "":
147|             cv2.imwrite(filename[0], self.shown_cv_img)
148|
149|     @Qtc.pyqtSlot()
150|     def clipboard_screenshot(self): # permet de copier l'image dans le clipboard
151|
152|     Qtw.QApplication.clipboard().setPixmap(convert_cv_to_qpixmap(self.shown_cv_img,
None))
153|
154|     @Qtc.pyqtSlot()
155|     def start_calculation(self):
156|         if not self.calculating:
157|             self.calculate_btn.setText(STR_STOP_CALCULATION)
158|             self.calculating = True
159|         else:
160|             self.calculate_btn.setText(STR_START_CALCULATION)
161|             self.calculating = False
162|             self.fps_qlabel.setText('')
163|
164|     @Qtc.pyqtSlot(np.ndarray)
165|     def update_video_qlabel(self, cv_img): # met à jour l'image avec la nouvelle
image de la caméra
166|         if is_gray(cv_img):
167|             self.calculate_btn.setEnabled(True)
168|             self.screenshot_btn.setEnabled(True)
169|             self.clipboard_btn.setEnabled(True)

```